

ASETİK ASİT - SU - SOLVENT SİSTEMLERİNİN İKİLİ VE ÜÇLÜ BUHAR LİKİT DENGESİ DURUMLARININ İNCELENMESİ



İstanbul Üniversitesi Kimya Fakültesince
«Fen Doktoru»
Ünvanının Verilmesi İçin Kabul Edilen Tezdir

Yüh. Müh. Nurbay GÜLTEKİN

Tezini Dekanlığa Verildiği Tarih : 5.12.1977
Sınav Tarihi : 13.1.1978

Doktorayı Yöneten : Prof. Dr. Emin ULUSOY
Diğer Jüri Üyeleri : Prof. Dr. Muallâ TUĞTEPE
Doç. Dr. Yıldız ÖZCAN

Çalışmalarım süresince geniş ilim ve tecrübelerinden
yararlandığım sayın hocam Prof.Dr.Emin Ulusoy'a ve çalışma-
larımı fakültesinde yapmama müsaade eden İ.Ü.Kimya Fakülte-
si Dekanlığına,ayrıca İstanbulda kalabilmem için gerekli
izni veren K.T.Ü.Temel Bilimler Fakültesi Dekanlığına teşek-
kürü bir borç bilirim.

SEMBOLLER

V= Varians sayısı

C= Dengede olan komponent sayısı

p= Denge faktörü sayısı

ψ = Dengede olan faz sayısı

R= gaz sabiti

T= Kelvin cinsinden sıcaklık

P_t = Karışımın toplam basıncı

P_1 = Birinci komponentin kısmi basıncı

P_1' = Birinci komponentin saf haldeki buhar basıncı

x_1 = Birinci komponentin likit fazdaki mol fraksiyonu

\overline{P}_2 = İkinci komponentin kısmi basıncı

P_2 = İkinci komponentin saf haldeki buhar basıncı

x_2 = İkinci komponentin likit fazdaki mol fraksiyonu

y_1 = Birinci komponentin buhar faz mol fraksiyonu

y_2 = İkinci komponentin buhar faz mol fraksiyonu

A,B,C = Antonie sabitleri

Z = Sıkıştırma faktörü

n = Gazın mol sayısı

f = Fügasite

ν = Fügasite katsayısı

γ_1 = Birinci komponentin aktivite katsayısı

γ_2 = İkinci komponentin aktivite katsayısı

α_{12} = Relatif uçuculuk

H = Molar entalpi

A,B,= Van Laar sabitleri

b,c,= Margules sabitleri

S_{12} = Seçimlilik

α'_{12} = Değiştirilmiş relatif uçuculuk

ÖZET

Bu çalışmada, sulu asetik asit çözeltilerinden, asetik asidi yüksek kaynayan solventler kullanarak ekstrakte eden E.Ulusoy ve U.Dramur'un elde ettikleri ekstrakt fazından, asetik asidin destilasyonla ayrılmasının araştırılması amacıyla aşağıdaki sistemlerin buhar-likit denge durumları incelendi.

1- Kullanılan cihazın ve metodun doğruluğunu kontrol etmek amacıyla, daha önce incelenmiş olan, su-asetik asit, etanol-su, aseton-kloroform sistemlerinin buhar-likit denge eğrileri çizildi.

2-Su-asetik asit sistemine daha önce uygulanmamış olan Van Laar ve Margules denklemleri tatbik edilerek aktivite katsayıları hesabedildi ve kompozisyonla değişimlerinin grafiği çizildi. Aktivite katsayılarından yararlanılarak buhar faz kompozisyonları hesabedildi ve denel sonuçlarla karşılaştırıldı.

3-Asetik asit-dietil malonat ikili sisteminin buhar-likit denge durumları incelendi. Van Laar ve Margules denklemlerini kullanarak aktivite katsayıları hesabedildi ve kompozisyonla değişiminin grafiği çizildi. Aktivite katsayılarından yararlanılarak buhar faz kompozisyonları hesabedilerek denel sonuçlarla karşılaştırıldı.

4-Asetik asit-benzil asetat ikili sisteminin buhar-likit denge durumu incelendi. Van Laar ve Margules denklemleri uygulanarak aktivite katsayıları hesabedildi ve kompozisyonla değişiminin grafiği çizildi. Aktivite katsayılarından yararlanılarak buhar faz kompozisyonları hesabedilerek denel sonuçlarla karşılaştırıldı.

5-Asetik asit-benzil alkol ikili sisteminin buhar-likit denge eğrisi çizildi, zamanla esterleşme durumu incelendi.

6-Su-asetik asit-benzil alkol üçlü sisteminin değiştirilmiş relatif uçuculukları hesabedilerek solvent (benzil alkol) konsantrasyonu ile değişiminin grafiği çizildi. Bonham denklemle-rinden yararlanılarak aktivite katsayıları hesabedildi.

7-Su-asetik asit-dietil malonat üçlü sisteminin değiştirilmiş relatif uçuculukları hesabedilerek solvent konsantrasyonu ile değişiminin grafiği çizildi. Bonham denklemleri yardımıyla aktivite katsayıları hesabedildi.

8-Su-asetik asit-benzil asetat üçlü sisteminin değiştirilmiş relatif uçuculukları hesabedilerek solvent konsantrasyonu ile değişiminin grafiği çizildi. Bonham denklemleri yardımıyla aktivite katsayıları hesabedildi.

9- Bütün bu denemelerin sonuçlarının bir arada değerlendirilmesiyle, sulu asetik asit çözeltilerinden asetik asidin, yüksek kaynayan solventlerden %41 benzil alkol %59 benzil asetat karışımının kullanılması ile ayrılması, halen uygulanmakta olan etil asetat yöntemine oranla daha ekonomik olacağı sonucuna varılmıştır.

İ Ç İ N D E K İ L E R

Sayfa

1 -Genel Kısım	1
1.1.-Fazlar Kuralı	1
1.2.-Buhar-Likit Dengelerinin Tayininde Kullanılan Metotlar	2
1.3.-İdeal Gaz Karışımıları	3
1.4.-İdeal Likit Karışımıları	4
1.5. İdeal Buhar-Likit Denge Durumları	4
1.6. İdeal Olmayan Gaz Karışımıları	6
1.7. İdeal Olmayan Likit Karışımıları	7
1.8. İdeal İkili Sistemlerin Buhar-Likit Dengeleri.	9
1.9. İdeal Olmayan Sistemlerin Buhar-Likit Dengeleri.	10
1.10.Aktivite Katsayılarını Etkileyen Değişkenler.	10
1.11.Aktivite Katsayılarının Hesaplanması	12
1.11.1 Van Laar Denklemleri	12
1.12. Margules Denklemleri	15
1.13. Hesapların Deneysel Uygunluğunun Kontrolu ..	16
1.13.1 Tucker ve Mason Testi	16
1.13.2 Redlich ve Kister Testi	17
1.13.3 Broughton ve Brearley testi	17
1.13.4 Black testi	17
1.14 Üçlü Sistemlerin Aktivite Katsayılarının hesabı	17
1.15 Bonham Denklemlerindeki Sabitlerin Tayini	18
1.16 İkili Sistemlerin txy ve xy diagramlarının Çizimi	18
1.17 Üçlü Sistemlerin Buhar-Likit Denge Durumlarının Grafik olarak İncelenmesi	19
1.18 Azeotropik ve Ekstraktif Destilasyon	19
1.19 İlave Edilen Solventin Özellikleri	20

1.20 Ekonomik Faktör Olarak Relatif Uçuculuk	20
1.21 Solventin Seçimliliği	22
1.22 Solvent Seçimliliğine Etki Eden Faktörler	22
1.22.1 Temperaturün Seçimliliğe Etkisi	23
1.22.2 Basıncın Seçimliliğe Etkisi	23
1.22.3 Solvent Oranının Seçimliliğe Etkisi	23
1.22.4 Molekülün Relatif Büyüklüğünün Seçimliliğe Etkisi	23
1.22.5 Hidrojen Köprüsünün Seçimliliğe Etkisi	24
1.23 Seçimliliği Tahmin Etme Metotları	24
1.24 Matematik Olarak Seçimliliğin İfadesi	25
1.25 Robinson ve Gilliland Metodu	26
2. Denel Kısım	27
2.1 Denemelerin Yapıldığı Cihaz	27
2.2 Cihazın Denel sonuçlarının Kontrolu	28
2.2.1.Su-Asetik ASit Sistemi	29
2.2.2 Etanol-Su Sistemi	29
2.2.3 Aseton-Kloroform Sistemi	30
2.3 Su-Asetik Asit İkili Sistemi	31
2.3.1 Analiz	31
2.3.2 Margules Sabitlerinin Tayini	32
2.3.3 Margules Denklemleriyle Aktivite Katsayıları Hesabı	34
2.3.4 % Sapma Değerlerinin Hesabı	34
2.3.5 Van Laar Denklemlerinin Sabitlerinin Hesabı	36
2.3.6 Aktivite Katsayılarının Hesabı	38
2.3.7 % Sapma Değerlerinin Hesabı	38
2.3.8 Black Testinin Uygulanması	41
2.3.9 Redlich ve Kister Testinin Uygulanması	42
2.4 Asetik Asit-Benzil Asetat İkili Sistemi	43
2.4.1 Analiz	43
2.4.2 Margules Sabitlerinin Tayini	45

2.4.3 Margules Denklemleriyle Aktivite Katsayılarının hesabı	45
2.4.4 % Sapma Değerlerinin Hesabı	46
2.4.5 Van Laar Denklemlerinin Uygulanması	48
2.4.6 Aktivite katsayılarının Hesabedilmesi	49
2.4.7 % Sapma Değerlerinin Hesabı	49
2.4.8 Black Testinin Uygulanması	52
2.4.9 Redlich ve Kister Testinin Uygulanması	54
2.5 Asetik Asit-Dietil Malonat İkili Sistemi	54
2.5.1 Analiz	54
2.5.2 Margules Denklemiерinin sabitlerinin Tayini	54
2.5.3 Aktivite katsayılarının Hesabedilmesi	57
2.5.4 % Sapma Değerlerinin Hesabı	57
2.5.5 Van Laar Denklemlerinin Uygulanması	58
2.5.6 Aktivite Katsayılarının Hesaplanması	60
2.5.7 % Sapma değerlerinin Hesaplanması	60
2.5.8 Black Testinin Uygulanması	61
2.5.9 Redlich ve Kister Testinin Uygulanması	62
2.6 Asetik Asit-Aseto Aset Esteri İkili Sistemi	64
2.7 Asetik Asit- Benzil Alkol İkili Sistemi	64
2.7.1 Analiz	64
2.7.2 Esterleşme Durumunun İncelenmesi	65
2.8 Su-Asetik Asit-Dietil Malonat Üçlü Sistemi	68
2.8.1 Analiz	68
2.8.2 Değiştirilmiş Relatif Uçuculukların Hesabı	69
2.8.3 Aktivite Katsayılarının Hesabı	72
2.8.4 Solvent Oranıyla Buhar-Likit Denge Eğrisinin Değişimi	73
2.9 Su-Asetik Asit-Benzil Alkol Üçlü Sistemi	76
2.9.1 Analiz	76
2.9.2 Değiştirilmiş Relatif Uçuculukların Hesabı	76
2.9.3 Aktivite Katsayılarının Hesabı	78
2.9.4 Solvent Oranıyla Buhar-Likit Denge Eğrisinin Değişimi	79
2.10 Su-Asetik Asit-Benzil Asetat Üçlü Sistemi	81

2.10.1 Analiz	81
2.10.2 Değiştirilmiş Relatif Uçuculukların Hesabı	81
2.10.3 Aktivite Katsayılarının Hesaplanması	81
3. Sonuçların Tartışılması	84
4. Literatür	85

I. GENEL KISIM

1.1 Fazlar Kuralı

Fazlar kuralı J.Williard Gibbs(8) tarafından 1876 da ortaya atılmıştır. Bu kurala göre, dengedeki bir sistemin denge durumunu koruyabilmesi için önceden saptanması gereken denge faktörü sayısını, denklem 1.1 yardımcıyla bulunabilir.

$$V = C + p - \psi \quad (1.1)$$

Burada,

V =Sistemin denge durumunu koruyabilmesi için gerekli denge faktörü veya varians sayısıdır.

C =Dengedeki sistemde bulunan komponent sayısıdır.

p =Denge faktörü sayısıdır (basınç, temperatür v.s.)

ψ =Denge durumundaki faz sayısıdır.

Faz: Heterojen bir sistemin diğer kısımlarından kesin sınır yüzeyle ayrılan kısmına faz denir.

Dengeye etki eden faktörlerin temperatür ve basınç olduğu sistemlerde $p=2$ dir.

$$V = C + 2 - \psi \quad (1.2)$$

1.1.1 Variansız Sistemler ($V = 0$)

$$0 = C + 2 - \psi \quad \text{buradan } \psi = C + 2 \text{ olur.}$$

Bu, sistemdeki faz sayısının komponent sayısından iki fazla olduğunu göstermektedir. $V = 0$ olduğu için sistem tamamamen belliidir.

1.1.2 Bir Varianslı Sistemler ($V = 1$)

$1 = C + 2 - \psi \quad \text{buradan } \psi = C + 1 \text{ olur. Yani dengedeki sistemin faz sayısı komponent sayısından bir faz- ladır. } V = 1 \text{ olduğundan sistemin belli olması için tek bir}$

denge faktörünün bilinmesi gereklidir. Örneğin: Saf bir likit din buhar basıncı belli ise kaynama noktası da belli demektir.

1.1.3 İki Varianslı Sistemler ($V = 2$)

$2 = C + 2 - \psi$ buradan $\psi = C$ olur. Yani dengedeki sistemin faz sayısı komponent sayısına eşittir. $V = 2$ olduğundan sistemin belli olması, iki denge faktörünün önceden test bit eilmesiyle mümkündür. Örneğin: İkili bir likit karışımının bilinen konsantrasyon ve basınçlarda kaynama noktaları belli olur.

1.2 Buhar-Likit Dengelerinin Tayininde Kullanılan Metotlar

Buhar-likit dengelerinin tayini için kabul edilmiş dört önemli metot mevcuttur.

1.2.1 En eski metotlardan biri, likit fazın, takriben $\%0.5$ i kadar buhar faz elde edilmesi esasına dayanır. Yani, buhar miktarının likit miktarına oranı çok küçüktür. Bu metodun diğer metotlara üstünlüğü basit olusudur. Fakat analiz edilecek buhar örneğinin az ve buharın kap cıdarlarında kondanse olması gibi sakıncaları vardır. Bu da buharın uçucu komponent bakımından gereğinden daha zengin olmasına neden olur.

1.2.2 Rosanoff, Lamp ve Breithut(5) tarafından geliştirilmiştir. Kaynama sabit kompozisyonda bir buhar geçisi olunca ya kadar devam eder. Sistem dengeye ulaştıktan sonra kaynama ile kompozisyon değişmez. Böylece bu metot oldukça kesin sonuçlar verir. Sabit kompozisyon geçişini temin etmek maharet ve tecrübe ister.

1.2.3 Rosanoff, Bacon ve White(4) tarafından başarılı
r şekilde kullanılmıştır. Destilasyon esnasında kondensat bir
rini takip eden birkaç persiyon halinde toplanır.

1.2.4 Othmer(6-7) tarafından geliştirilmiştir. Bu me-
t, bir kaynamanın olduğu kısım, birde kondensatın toplandığı
smı içeren cihazlarla gerçekleştirilir. Kaynamanın olduğu kı-
andan çıkan buharlar, kondense olduktan sonra tekrar kaynama
bına geri dönerler. Sistem dengeye ulaştığında, kaynama kabın-
n çıkan buhar kompozisyonu, dönen kondensat kompozisyonu ile
nidir. Buhar-likit denge cihazlarının en gelişmişleri bu esas
ensibe göre çalışanlarıdır.

Buhar-likit dengelerinin anlaşılması için ideal gaz
nunlarının, ideal çözelti kanunlarının bilinmesi gereklidir.
rica pratikte karşılaşılan karışıkların çoğu ideal olmadı-
ndan, böyle karışıklar için geliştirilmiş düzeltme faktörle-
nin neler olduğunu ve nasıl saptandığını hatırlamakta yarar
dır.

1.3 İdeal Gaz Karışımıları

İdeal gaz kanunlarına uyan karışımlara ideal karışımlar
ır. Bir mol ideal gaz karışımının hacmi için(1.3) eşitliği ge-
lidir.

$$v = \frac{R T}{P_t} \quad (1.3)$$

Dalton (12) kanununa göre, bir gaz karışımının toplam ba-
ci, karışımındaki gazların kısmi basınçları toplamına eşittir.

$$P = \sum_{n=1}^N P_n = P_1 + P_2 + P_3 + \dots + P_n$$

Bir mol karışım demek, karışımındaki gazların mol fraksi-
ları toplamının bir olması demektir.

$$x_1 + x_2 + x_3 + x_4 + \dots + x_n = 1$$

V = Bir mol karışımın hacmi

R = Gazlar sabiti

T = Karışımın kelvin cinsinden sıcaklığı

P_t = Karışımın toplam basıncı

İdeal gazlarda ve gaz karışımlarında, moleküller arası uzaklıklar, moleküllerin büyüklükleri eşit olduğundan, fiziksel çekim kuvvetlerinin bileşkeleri her tarafta sıfırdır. Ayrıca moleküller arası uzaklıkların eşit olması nedeniyle bir asosiyasyon ve moleküller arası herhangi bir kimyasal etki yoktur. Ideal gaz karışımı, tamamen saf bir ideal gaz gibi hareket edebilir.

1.4 İdeal Likit Karışımaları

Her oranda birbiriyle karışabilen likitler karıştırıldığında hacim ve ısı değişimi olmuyor, aynı zamanda sistem Raoult (17) kanununa uyuyorsa böyle karışımlara ideal likit karışımaları denir. İdeal likit karışımaları için Raoult kanununun ifadesi denklem 1.4 de görüldüğü gibidir.

$$\bar{P}_1 = P_1 X_1 \quad (1.4)$$

\bar{P}_1 = Birinci komponentin kısmıdır.

P_1 = Birinci komponentin aynı temperaturde saf haldeki buhar basıncıdır.

X₁ = Birinci komponentin likit fazındaki mol fraksiyonudur.

Herhangi bir karışımındaki komponentlerin kısmı basınçları likit fazındaki mol fraksiyonları ile orantılıdır.

1.5 İdeal Buhar-Likit Dengeleri

Destilasyonun ana prensibi buhar-likit dengesine dayanır. Bu nedenle kısmı basınçlarla ilgili Dalton kanunu ile konstantrasyonlarla ilgili Raoult kanununu iyice anlamak yerinde olur.

Dalton Kanunu: Bir gaz karışımının toplam basıncı, karışımı meydana getiren gazların kısmı basınçları toplamına eşittir.

$$P_t = \sum_{n=1}^N P_n = P_1 + P_2 + \dots + P_n \quad (1.5)$$

Yine Dalton kanunu, kismi basincı, karışımındaki gazın molekül sayısıyla orantılı olduğunu ifade eder.

$$\bar{P} = y_1 P_t \quad (1.6 \text{ a})$$

\bar{P} = Birinci komponentin kismi basıncıdır.

y_1 = Birinci komponentin gaz fazındaki mol fraksiyonudur

P_t = Gaz karışımının toplam basıncıdır.

Raoult Kanunu(17): Bir likit karışımındaki herhangi bir komponentin kismi basıncı, o komponentin likit fazındaki mol fraksiyonu ile orantılıdır.

$$\bar{P} = x_1 P_1 \quad (1.6 \text{ b})$$

\bar{P} = Birinci komponentin kismi basıncıdır.

x_1 = Birinci komponentin aynı temperaturde saf haldeki buhar basıncıdır.

x_1 = Birinci komponentin likit fazındaki mol fraksiyonudur,

Buhar ve likit fazların ideal davranışları var sayilarak Dalton ve Raoult kanunlarının kombinasyonu yapılırsa, denklem (1.7) elde edilir.

$$P_t = \sum_1^n P_n = \sum_1^n P_t y_n = \sum_1^n x_n P_n \quad (1.7)$$

(1.7) denklemi karışımındaki bir komponent için aşağıdaki gibi yazılabilir.

$$y_1 P_t = x_1 P_1 \quad (1.8)$$

Bir komponentin bu denklemdeki yegane özelliği, saf haldeki buhar basıncı(P_1)dır. P_1 temperaturün direkt bir fonksiyonudur. P_1 in büyüklüğü oranında bir komponentinin uçuculuğu büyük olur. Yani, bir komponentin diğer bir komponente oranla daha uçucu olması demek, aynı temperaturde buhar basıncının diğerininkinden büyük olması demektir. Buhar basıncı ile temperatur arasındaki en geçerli ilişki Antoine(9) tarafından verilmiştir.

$$\log P = A - \frac{B}{C + t} \quad (1.9)$$

Burada,A,B,C sabit sayılar olup,komponentlere ve temperatur aralıklarına göre ayrı ayrı tayin edilirler.P basincı $t^{\circ}C$ cinsinden sıcaklığıdır.

Relatif uçuculuk,destilasyon hesaplamalarında geniş ölçüde kullanılan bir münasebettir ve destilasyonda komponentlerin bir birinden ayrılabilme gücünün ölçüsü olarak düşünülebilir.Relatif uçuculuk ne kadar büyük olursa,iki komponentin bir birinden ayrılması o kadar kolay olur ve az masraf gerektirir.Relatif uçuculuk (α_{12}) buhar ve likit kompozisyonları tayin edilerek denklem(1.10)yardımıyla hesaplanabilir.

$$\alpha_{12} = \frac{y_1/x_1}{y_2/x_2} \quad (1.10)$$

1.6 İdeal Olmayan Gaz Karışıntıları

Gerçek gazlarda moleküller arası uzaklıkların ve moleküllerin büyüklüklerinin farklı olması nedeniyle çeşitli fiziksel ve kimyasal etkiler,moleküller arası çekim kuvvetleri ortaya çıkar.Bu nedenle artık ideal gaz kanunları geçerli olmaz.İdeal durumlardan sapmaların ifadesi için birçok yol vardır.Destilasyon çalışmaları bakımından en faydalı olanları sıkıştırma faktörü (denklem 1.11) ve fügasite kavramlarıdır.

$$Z = \frac{P V}{n R T} \quad (1.11)$$

Burada,

P = Gazın basıncı

T = Gazın sıcaklığı (kelvin cinsinden)

R = Gaz sabiti

n = Gazın mol sayısıdır.

Aynı basınç ve temperatürdeki gerçek gaz hacminin, ideal gaz hacmine oranına sıkıştırma faktörü denir. Basınç sıfıra gitmekten bu oran bütün gazlar için bire yaklaşır. Bu nedenle, bütün gazlar için atmosfer basıncında ve altında bu oran bir olarak kabul edilebilir. Ancak yüksek basınçlarda birden oldukça farklı olmaktadır.

Fügasite Katsayısı: Gerçek gazın kısmi baskısının, bu gazın ideal davranışlığı varsayıldığındaki kısmi baskısına oranına eşittir.

$$\nu = \frac{f}{P} \quad (1.12)$$

f = Gerçek gazın kısmi baskısı (fügasite)

P = Bu gazın ideal davranışlığı varsayıldığındaki kısmi baskısı

ν = Fügasite katsayısı

Lewis ve Randall (26) fügasiteyi aşağıdaki şekilde tanımlamışlardır.

$$\left(\frac{\partial G}{\partial P} \right)_T = R T d \ln \nu \quad (1.13)$$

Fügasite, atmosfer basıncı ve bunun altındaki basınçlarda ideal gazın kısmi basıncına aşağı yukarı eşittir. Yani düşük basınçlarda fügasite katsayısı bire çok yakın olduğundan bir olarak kabul edilebilir.

1.7 İdeal Olmayan Likit Karışımaları

İdeal olmayan likit karışımalarında moleküller arası uzaklık gaz haline oranla çok küçük ve moleküller arası çekim kuvvetleri daha büyüktür. Bu arada karışımındaki maddelerin özelliklerine bağlı olarak çeşitli fiziksel ve kimyasal etkiler ortaya çıkar. Bu etkiler nedeniyle karışım artık ideal likit

kanunlarından sapmalar gösterir. İdeal likit karışımlarına uygulanın Raoult kanunundan pozitif veya negatif yönde bir sapma ortaya çıkar. Bütün bu sapmalar aktivite katsayılarıyla belirtilebilir.

Aktivite katsayıları ideal durumdan sapmanın nedeni değil sapmaların bir ölçüsü olmaktadır. Raoult kanununa aktivite katsayılarının ilavesiyle ideal olmayan likitler için hesaplamalar yapılabilir.

$$\bar{P}_1 = \gamma_1 x_1 P_1 \quad (1.14)$$

\bar{P}_1 = Birinci komponentin kısmi baskısı

γ_1 = Birinci komponentin aktivite katsayısı

x_1 = Birinci komponentin likit fazdaki mol fraksiyonu

P_1 = Birinci komponentin aynı temperatürde saf haldeki buhar baskısıdır.

Fügasite ve aktivite katsayılarının Raoult ve Dalton kanunlarına ilavesi sonucu (1.8) denklemi aşağıdaki şekli alır.

$$v_1 y_1 P_t = \gamma_1 x_1 P_1 \quad (1.15)$$

Eğer değişkenler arası ilişkiler bilinir veya tahmin edilebilirse buhar-likit dengelerinin hesaplanmasıında bu denklem esas olarak kullanılabilir.

İdeal olmayan sistemlerde relativ uçuculuk (1.16) denklemiyle hesabedilebilir.

$$\alpha_{12} = \frac{y_1 / \gamma_1 x_1}{y_2 / \gamma_2 x_2} \quad (1.16)$$

Relativ uçuculuk sistemin özelliğine bağlı olarak temperatürle artar, azalır veya sabit kalır. Relativ uçuculuk temperatürle, buhar basınçlarına oranla çok daha az değişir.

1.8 İdeal İkili Sistemlerin Buhar-Likit Dengeleri

Karışımın ideal davranış halinde,

1-Karışımın hacminde karışma nedeniyle bir değişme yoktur.

2-Karışma ıslısı sıfırdır.

3-Moleküller arası fiziksel ve kimyasal etkiler yoktur

Buhar ve likit kompozisyonları, ikili sistemin ideal olduğu kabul edilerek atmosfer basıncı civarında saf komponentlerin buhar basınçları ve temperatür verilerinden hesaplanabilir. Buhar basınçları Antoine(9) denklemi(1.9) veya temperatür ile basınç arasında çizilen grafikten yararlanarak bulunabilir.

Dalton ve Raoult kanunlarının kombinasyonu sonucu kompozisyonlarla basınçlar arasında (1.17) ve (1.18) denklemleri elde edilir.

$$x_1 = \frac{P_t - P_2}{P_t - P_1} \quad (1.17)$$

$$y_1 = \frac{P_1 x_1}{P_t} \quad (1.18)$$

İdeal ikili sistemlerde ve ideale çok yakın sistemlerde likit kompozisyonu ve relativ uçuculuk bilindiği taktirde buhar faz kompozisyonu (1.19) denklemiyle, buhar faz kompozisyonu bilindiğinde (1.20) denklemiyle de likit faz kompozisyonları hesabedilebilir.

$$y_1 = \frac{\alpha_{12} x_1}{1 + (\alpha_{12}-1)x_1} \quad (1.19)$$

$$x_1 = \frac{y_1}{\alpha_{12} - y_1(\alpha_{12}-1)} \quad (1.20)$$

1.9 İdeal Olmayan Buhar-Likit Dengeleri

Pratikte karşılaşılan ikili sistemlerin çoğu ideal olmayan sistemlerdir. Destilasyon hesaplamaları için uygun bir kesinlikteki buhar-likit denge kompozisyonu verilerine sahip olmak gereklidir. Bu veriler değişik yöntemlerle elde edilebilir.

1-Denel olarak tayin edilebilirler.

2-Sistemin ideal davranışını kabul edilerek, denge verileri ideal denklemlerden yararlanarak yaklaşık olarak hesabedilebilir.

3-Sisteme ait çok az sayıdaki deneysel noktaların kesin olarak tayin edilmiş verilerinden gidilerek bütün diğer noktalaraın buhar-likit denge verileri çeşitli formülleri kullanarak hesabedilebilir.

4-Saf komponentlerin fiziksel verilerinden yararlanarak buhar-likit denge verileri hesabedilebilir.

Buhar-likit denge verilerinin hesaplanması tam ve kesin bir yöntemi yoksa, deneysel verilerin kullanılması en uygunudur. İdeale yakın olarak bilinen sistemler için ideal denklemlerin kullanılması, mühendislik bakımından kesin olan sınırlar içerasında memnuniyet verici olabilir. Eğer sistem ideal değil ve deneysel verileri de çok az ise üçüncü yöntemin kullanılması gereklidir. Dördüncü yöntem kaba bir yaklaşım sağlamak amacıyla kullanılabilir.

1.10 Aktivite Katsayısını Etkileyen Değişkenler

Gibbs ve Duhem (13-14) iç enerjinin yüzeysel dağılımını, elektiriksel ve manyetik alanların etkilerini ihmali ederek termodynamığın temel denklemleri yardımıyla aktivite katsayıları ve kompozisyon arasındaki ilişkiyi veren (1.21) genel denklemini

türetmişlerdir.

$$x_1 \left(\frac{\delta \ln \gamma_1}{\delta x_1} \right)_{P_t, T} + x_2 \left(\frac{\delta \ln \gamma_2}{\delta x_1} \right)_{P_t, T} + \dots + x_n \left(\frac{\delta \ln \gamma_n}{\delta x_1} \right)_{P_t, T} = 0 \quad (1.21)$$

Türetmede kabul edilen şartlar nedeniyle, bu denklem sadece sabit temperatür ve basıncındaki sistemlere uygulanabilir. Göz önüne alınan özel bir sistem için gerekli olan bazı basit kabüller yapılmadıkça bu denklem entegre edilemez.

Ibl ve Dodge (15), Gibbs-Duhem denklemini ikili bir sistem için aşağıdaki şekilde ifade ettiler.

$$x_1 d \ln \gamma_1 + x_2 d \ln \gamma_2 = Z dx_1 \quad (1.22)$$

$$Z = -\frac{\Delta H}{RT^2} \left[\frac{dT}{dx_1} \right]_{P_t} \quad (1.23)$$

$$\Delta H = H - x_1 H_1^0 - x_2 H_2^0 \quad (1.24)$$

H, H_1^0, H_2^0 karışımın ve komponentlerin denge şartlarında likit haldeki molar entalpileridir.

Aktivite katsayısı üzerine basıncın etkisi (1.25) denkleminde gösterilmiştir.

$$\ln \frac{\gamma_1 R_1}{\gamma_2 R_2} = \frac{1}{RT} \left(V_1 - V_1^0 \right)_{\text{ort}} \left(P_t - P_2 \right) \quad (1.25)$$

Aktivite katsayısı üzerine temperatürün etkisi (1.26) denklemiyle gösterilmiştir.

$$\ln \frac{\gamma_1 T_1}{\gamma_2 T_2} = \left[\frac{H_1 - H_1^0}{R} \right]_{\text{ort. } T_1} \int_{T_1}^{T_2} \frac{dT}{T^2} = \frac{K}{R} \frac{T_1 - T_2}{T_1 + T_2} \quad (1.26)$$

1.11 Aktivite Katsayılarının Hesaplanması

Aktivite katsayılarının hesaplanması için birçok yöntem geliştirilmiştir. Bunlardan en çok bilinen Van Laar ve Margules denklemleriyle hesaplama yöntemleridir.

1.11.1 Van Laar Denklemleri (19)

$$\ln \gamma_1 = \frac{B / T}{\left(\frac{x_1}{x_2} A + 1 \right)^2} \quad (1.27)$$

$$\ln \gamma_2 = \frac{AB / T}{\left(\frac{x_2}{x_1} + A \right)^2} \quad (1.28)$$

Bu denklemlerde aktivite katsayısı, konsantrasyonların oranı ve temperaturle değişmektedir. Denklemlerdeki A ve B sabitlerinin, karışımındaki komponentlerin yapılarına bağlı olarak bütün ikili karışımlar için ayrı ayrı tayin edilmesi gereklidir. Çünkü aktivite katsayılarının hesaplanması için A ve B sabitlerinin bilinmesi şarttır. Bu sabitlerin tayin edilmesinde kullanılan yöntemler den bahsetmek yerinde olur.

1.11.1.1 Tek bir noktanın kesinlikle tayin edilen deney-sel verilerini kullanarak A ve B sabitleri hesabedilebilir. Bu nokta, azeotropik sistemler için azeotropun olduğu, diğerleri için likit faz kompozisyonu 0.4-0,6 aralığında seçildiğinde daha iyi sonuçlar verir. Bu tek noktanın x, y, P, P_t değerleri denel olarak saptanır. (1.15) denkleminden aktivite katsayıları hesaplanarak (1.29) denklemde yerine konularak A sabiti bulunur. (1.29) denklemının elde edilmesi için (1.28) denkleminin sağ tarafının payı ve paydası $\left(\frac{x_1}{x_2}\right)^2$ ile çarpılıp (1.27) denklemi ile bölünür.

-13-

$$\ln \gamma_2 = \frac{AB/T \left(\frac{x_1}{x_2} \right)^2}{\left(A + \frac{x_2}{x_1} \right)^2 \left(\frac{x_1}{x_2} \right)^2} = \frac{AB/T \left(\frac{x_1}{x_2} \right)^2}{\left(A \frac{x_1}{x_2} + 1 \right)^2}$$

$$\ln \gamma_1 = \frac{B / T}{\left(\frac{x_1}{x_2} A + 1 \right)^2}$$

$$\frac{\ln \gamma_2}{\ln \gamma_1} = A \left(\frac{x_1}{x_2} \right)^2 \implies A = \frac{\ln \gamma_2}{\ln \gamma_1} \left(\frac{x_2}{x_1} \right)^2 \quad (1.29)$$

(1.29) formülünden bulunan A sabiti (1.27) veya (1.28)

denkleminde yerine konularak B sabiti hesabedilir.

1.11.1.2 (1.15) formülü ile aktivite katsayıları kabaca hesaplanır. Van Laar denklemlerini değişik bir şekliyle yazdığımızda (1.30) ve (1.31) formülleri elde edilir.

$$\frac{1}{\sqrt{T \ln \gamma_1}} = \frac{A}{B^{0.5}} \frac{x_1}{x_2} + \frac{1}{B^{0.5}} \quad (1.30)$$

$$\frac{1}{\sqrt{T \ln \gamma_2}} = \frac{1}{(AB)^{0.5}} \frac{x_2}{x_1} + \frac{A}{B}^{0.5} \quad (1.31)$$

$\left(T \ln \gamma_1 \right)^{-0.5}$ ile $\frac{x_1}{x_2}$ arasında çizilen grafik bir doğrudur. Bu doğrunun eğimi $\frac{A}{B^{0.5}}$ değerine, $\left(T \ln \gamma_2 \right)^{-0.5}$ eksenini kestiği nokta da $\frac{1}{B^{0.5}}$ değerine eşittir. Bu değerlerden yararlanarak A ve B sabitleri hesabedilir. (1.31) denkleminden yararlanarak A ve B sabitleri tekrar hesabedilerek her ikisinin ortalaması alınır.

1.11.1.3 $T \ln \gamma_1$ ile x_1 arasında çizilen grafikte, $x_1=0$ olunca $T \ln \gamma_1 = B$ değerini verir. $T \ln \gamma_2$ ile x_2 arasında grafik de $x_2=0$ olunca $T \ln \gamma_2 = AB$ değerini verir. Böylece A ve B sabitleri tayin edilmiş olur.

1.11.1.4 Van Laar Denklemlerinin Diğer Uygulamaları

Van Laar denklemleri, likit karışımlarında karşılaşılan doğal olayları kalitatif olarak karakterize edebilir. Denklemler aşağıdaki gibi kombine edilebilir.

$$\ln \left[\left(\frac{P_1}{P_2} \right) \left(\frac{1}{\alpha_{12}} \right) \right] = \frac{\left[A \left(\frac{x_1}{x_2} \right)^2 - 1 \right] \frac{B}{T}}{\left(1 + \frac{x_1}{x_2} A \right)^2}$$

Bu denklem buhar basınçları oranının, relativ uçuculuğa bölümünün tabii logaritmasını, Van Laar sabitleri ve konsantrasyonlar oranının bir fonksiyonu olarak verir. Denklemden de anlaşıldığı gibi çözelti ideal ise $\frac{P_1}{P_2} = \alpha_{12}$ olacağinden logaritmik terim sıfır olacaktır. Bu ise, sağ taraftaki çarpanlardan en az birinin sıfır olmasını gerektirir. Sağ taraftaki çarpanların sıfır olması için ya $B=0$ veya $\sqrt{A} = \frac{x_2}{x_1}$ olmalıdır. Yukarıdaki varsayımin tersini düşünürsek, $B=0$ olduğunda denklemin heriki tarafı da sıfır olur. Sol tarafın sıfır olması için $P_1/P_2 = \alpha_{12}$ olmalıdır. Bu ise ideal sistemler taktirinde gerçekleşir. Buna göre B sabiti, herhangi bir sistemin ideal olup olmadığını belirttiği gibi saptamların da bir ölçüsü olmaktadır.

Yukarıdaki denklemi değişik limitlerde incelersek enteresan sonuçlar ortaya çıkar. Örneğin: $x_1 \rightarrow 0$ olurken denklemin sağ tarafı $-\frac{B}{T}$ değerine eşit olur. Bu terimin işaretini B nin işaretine göre değişim ($T > 0$). B , maksimum kaynayan azeotroplar için negatif, diğer bütün karışımların pek çoğu için pozitiftir. $0 > B$ olduğunda $\frac{P_1}{P_2} > \alpha_{12}$; $0 < B$ olduğunda $\frac{P_1}{P_2} < \alpha_{12}$ olur. $\frac{P_1}{P_2} < \alpha_{12}$ halinde düşük konsantrasyondaki komponenti ayırmak

ideal çözelti kanunlarından beklenenden daha kolay olacaktır.

$\frac{P_1}{P_2} > \alpha_{12}$ durumunda bunun tersi olmaktadır.

$x_2 \rightarrow 0$ olurken, sağ tarafın limiti $\frac{B}{A-T}$ değerine eşit olur. A bütün haller için pozitiftir. 0 halde logaritmik terimin işaretini yine B nin işaretine bağlıdır. B pozitif ise relativ uçuculuk ideal relativ uçuculuktan daha küçüktür. Örneğin: Düşük konsantrasyonlarda relativ uçuculuk, ideal çözeltinininden daha büyük. Yüksek konsantrasyonlarda daha küçüktür. B negatif olduğunda yukarıda söylenenlerin tersi geçerli olur.

Sağ tarafın sıfır olduğu ikinci durum yani $A^{0,5} = \frac{x_2}{x_1}$ olduğunda sistem B nin değerine bağlı olmadan Raoult kanunu ile uyuşacaktır. Çoğu karışışlar için A sabitinin değeri 0,5-2 aralığındadır. Herhangi bir ikili sistem için Raoult kanunu, buhar-likit denge eğrisinin orta kısımlarında uc kısımlarına oranla daha doğru sonuçlar vermektedir.

1.12 Margules Denklemleri (49)

$$\frac{\ln \gamma_1}{x_2^2} = b + c x_2 \quad (1.32)$$

$$\frac{\ln \gamma_2}{x_1^2} = b + c (0.5+x_2) \quad (1.33)$$

Aktivite katsayılarının hesaplanması için b ve c sabitlerinin tayin edilmesi gereklidir. Bu sabitler aşağıdaki yöntemlerle tayin edilir.

1.12.1 Tek bir noktanın deneysel verilerini kullanarak

(1.15) formülünden aktivite katsayıları hesabedilir. Bulunan değerler (1.32) ve (1.33) denklemlerinde kullanılarak b ve c sabitleri tayin edilir. Bu sabitler tayin edildikten sonra diğer bütün

noktaların aktivite katsayıları (1.32) ve (1.33) denklemlerinden hesabedilebilir.

$$1.12.2 \quad \frac{\ln \gamma_1}{x_2^2} \text{ ile } x_2 \text{ ve } \frac{\ln \gamma_2}{x_1^2} \text{ ile } (0.5+x_2) \text{ arasında }\dot{c}$$

zilen doğrulardan yararlanarak b ve c sabitleri bulunabilir. İki grafikten bulunan değerlerin ortalaması alınmalıdır. Burada kullanılan aktivite katsayıları denel sonuçların (1.15) formülüne uygulanması sonucunda bulunan değerlerdir.

1.13 Hesapların Deneylerle Uygunluğu

Van Laar ve Margules denklemleriyle bulunan aktivite katsayıları (1.15) formülünde yerine konularak buhar fazın kompozisyonları hesabedilir. Deneylerle bulunan buhar faz kompozisyonu ile hesabedilen buhar faz kompozisyonu arasında hiç fark olmaması gereklidir. Ancak deneysel hataların olabileceği ve bu denklemlerin sistemlere uygulanamayacağı durumlarda bu fark çok büyük olur. Herhangi bir sisteme bir denklemin uygun olup olmadığını anlamak için aşağıdaki testler yapılır.

1.13.1 Tucker(41) ve Mason(42) Testi

Bu teste göre $\left[\frac{y_h - y_d}{(y - x)_d} \right] . 100$ değeri "sapma" diye adlandırılmıştır. % ortalama sapma değeri 0-5 aralığında ise denklemin sisteme uygunluğu çok iyi, 5-11 aralığında iyi sayılabilir, 11 den büyük ise fena olduğu kabul edilmiştir.

Gerçek ikili sistemler için termodinamik ilişkiler, deneylerden sapmalar göstermektedir. Deneylerin çoğu Gibbs-Duhem(13-14) eşitliğine dayandırılmıştır. Bir ikili sistem için Gibbs-Duhem eşitliği aşağıdaki gibi yazılabılır.

$$\left[\begin{array}{c} \frac{\zeta \ln \gamma_1}{\delta x_1} \\ \frac{\zeta \ln \gamma_2}{\delta x_2} \end{array} \right] = - \frac{x_2}{x_1} \quad (1.34)$$

Aktivite katsayılarının logaritmalarıyla likit kompozisyonları arasında çizilen grafiklerin eğimleri oranı, likit mol fraksiyonları oranının negatif işaretlisine eşittir. Buna termo-dinamik olarak deneylerin uygunluğu adı verilir.

1.13.2 Redlich ve Kister (18) Testi

Bu teste göre $\ln \frac{\gamma_1}{\gamma_2}$ ile x_1 arasında çizilen grafiğin $\ln \frac{\gamma_1}{\gamma_2} = 0$ hattının altındaki alanı üstündeki alanla karşılaştırarak denklem sisteme uygun olup olmadığı saptanabilir. Eğer alanlar eşit ise denklem sisteme uygun, değilse uygun olmadığı söylenebilir.

1.13.3 Broughton ve Brearley (11) Testi

$T \ln \frac{\gamma_1}{\gamma_2}$ ile x_1 arasında çizilen grafiğin $T \ln \frac{\gamma_1}{\gamma_2} = 0$ hattının altındaki alan üstündeki alana eşit ise denklem sisteme uygun, eşit değilse uygun olmadığı söylenebilir.

1.13.4 Black (10) Testi

$(\ln \gamma_1)^{0.5}$ ile $(\ln \gamma_2)^{0.5}$ arasında çizilen grafiğin doğrusal olması denklem sisteme uygun olduğunu gösterir.

1.14 Üçlü Sistemlerin Aktivite Katsayılarının Hesabı

İkili sistemlerinkine oranla oldukça karışiktır. Bununla beraber çok sayıda denklem geliştirilmiştir. En çok bilinen Bonham (29-30) denklemeleridir.

$$T \ln \gamma_1 = \frac{(x_2 \sqrt{B_{12}} + x_3 A_{32} \sqrt{B_{13}})^2}{(x_1 A_{12} + x_2 + x_3 A_{32})^2} \quad (1.35)$$

$$T \ln \gamma_2 = \frac{(x_1 A_{12} \sqrt{B_{21}} + x_3 A_{32} \sqrt{B_{32}})^2}{(x_1 A_{12} + x_2 + x_3 A_{32})^2} \quad (1.36)$$

$$T \ln \gamma_3 = \frac{(x_1 A_{12} \sqrt{B_{31}} + x_2 \sqrt{B_{32}})^2}{(x_1 A_{12} + x_2 + x_3 A_{32})^2}$$

Bu denklemlerde kullanılan sabitler üçlü sistemi meydana getiren komponentlerden oluşan üç ayrı ikili sisteme ait Van Laar sabitleridir.

1.17 Bonham Denklemlerindeki Sabitlerin Tayini (29-30)

Üçlü sistemi oluşturan komponentlerden meydana gelen üç ayrı ikili sistemden ikisinin Van Laar sabitleri bilindiğinde, üçüncü ikili sisteme ait sabitler aşağıdaki denklemlerden yararlanarak hesabedilebilir.

$$A_{12} = \frac{1}{A_{21}} \quad A_{23} = \frac{1}{A_{32}} \quad (1.38)$$

$$\sqrt{B_{12}} = -\sqrt{B_{21} A_{21}} \quad \sqrt{B_{13}} = -\sqrt{B_{31} A_{13}} = -\sqrt{\frac{B_{31} A_{12}}{A_{32}}} \quad (1.39)$$

$$\sqrt{\frac{B_{12}}{A_{12}}} + \sqrt{\frac{B_{23}}{A_{22}}} + \sqrt{\frac{B_{31}}{A_{32}}} = 0 \quad (1.40)$$

$$\sqrt{\frac{B_{21}}{A_{22}}} + \sqrt{\frac{B_{13}}{A_{12}}} + \sqrt{\frac{B_{32}}{A_{32}}} = 0$$

Eğer üç ayrı ikili sistemin de Van Laar sabitleri biliniyorsa yukarıdaki denklemlerin kullanılmasına gerek kalmaz.

1.16 İkili Sistemlerin txy ve xy Diagramlarının Çizimi

İkili bir karışımın sabit basınçta kaynama noktaları, komponentlerin özelliklerine bağlı olarak, karışımın kompozisyonu ile

eğisir. Birinci komponentin likit fazdaki mol fraksiyonu x_1 , buhar fazdaki mol fraksiyonu y_1 ile gösterilir. Apsise kompozisyonları, ordinata temperatür değerlerini koyarak çizilen grafiğe txy diagramı denir.

Apsise likit faz kompozisyonunu, ordinata buhar faz kompozisyonunu koyarak çizilen grafiğe xy diagramı denir. İkili bir sistemin xy diagramı, txy diagramından yararlanarak da çizilebilir.

1.17 Üçlü Sistemlerin Buhar-Likit Denge Durumlarının Grafiksel İncelenmesi (28)

Üçlü sistemleri deneylerle karakterize etmek çok zor ve asraflıdır. Değişimleri göstermek için üç boyutlu grafiksel çalışmalar gereklidir.

Sabit basınçta kompozisyonla temperatür değişikliklerini abanı eşkenar üçgen olan bir prizma ile göstermek gerekir. Taban kenarları kompozisyonları, yüksekliğinde temperatürü gösterdiğinde buhar ve likit kompozisyonlarının değişimi, üçgen prizma içerisinde yüzeysel değişimler gösterir. Bu yüzeyler maddelerin karakterle ine bağlı olarak değişen konveks yada konkav yüzeylerdir. Bu nedenle bunların karakterize edilmeleri oldukça zordur. Ancak bu prizmanın belli temperatürler için kesitleri alınarak, buhar ve likit fazların değişimi hakkında bir fikir sahibi olunabilir. Buna başka, üçlü sistemi meydana getiren komponentlerden oluşan üç ayrı ikili sistemin txy diagramlarından yararlanarak, belirli temperatürler için üçlü karışımının buhar-likit denge hatları hakkında bir fikir sahibi olunabilir.

1.18 Azeotropik ve Ekstraktif Destilasyon

Azeotrop oluşturan veya relativ uçuculukları bire çok ya-

kın olan karışımının normal destilasyonlarla ayrılmasını mümkün olmamaktadır.

Azeotrop teşkil eden karışımın ayrılması için, azeotropu bozucu üçüncü bir komponent ilave edilir. İlave edilen komponent azeotropu meydana getiren komponentlerden birinin karışımından ayrılmasını kolaylaştırır.

İkinci durumda, relativ uçuculukları bire yakın olan karışımın ayrılması, çok sayıda plato ve fazla miktarda ısı tüketimi gerektirdiğinden, böyle karışımın ayrılmamasının daha ekonomik olması için, relativ uçuculuğu artıran üçüncü bir komponent ilave edilir. Bu ilave komponente solvent denir.

1.19 İlave Edilen Solventin Özellikleri

- 1- Karışımı meydana getiren ana komponentlerden birinin relativ uçuculuğunu artırmalıdır.
- 2- Karışımı meydana getiren komponentlerden çok daha az uçucu olmalıdır.
- 3- Isı etkisiyle bozunmamalıdır.
- 4- Karışımındaki komponentlerle kimyasal reaksiyon vermemelidir.
- 5- Piyasada bol ve ucuz olmalıdır.
- 6- Korrosif etkileri olmamalıdır.
- 7- Toksik etkileri olmamalıdır.
- 8- Geri kazanılması kolay olmalıdır.

1.20 Ekonomik Faktör Olarak Relativ Uçuculuk

Relativ uçuculuk, ana komponentlerin etkin basıçları oranıının bir ölçüsüdür. İki komponentin ayrılma maliyeti relativ uçuculuga bağlıdır. Relativ uçuculuk 1.05 den büyük olduğu zaman bu iki komponentin birbirinden ayrılması ekonomik olur.

Relatif uçuculuk aşağıdaki denklemle hesabedilebilir.

$$\alpha_{12} = \frac{y_1/x_1}{y_2/x_2} = \frac{\gamma_1 P_1 \nu_1}{\gamma_2 P_2 \nu_2}$$

Ideal sistemlerde relatif uçuculuk $\alpha_{12} = \frac{P_1}{P_2}$ dir.

α_{12} nin bağlı olduğu faktörlerden herhangi biri değişirse α_{12} de değişir. Ancak fügasite katsayıları normal ve daha düşük basınçlarda bire eşit kabul edilebilirler. Bu nedenle fügasite katsayılarının etkisi ihmali edilebilir.

α_{12} buhar basınçları oranı ile pek az değişmektedir. Çünkü, buhar basınçlarının temperatürle değişimlerinin fazla olmasına rağmen iki komponentin buhar basınçları oranı daha az değişir. P_1 artarken P_2 de artmaktadır. P_1 ve P_2 nin artma hızları aynı ise bunların oranları hemen hemen hiç değişmez, ancak artma hızları farklı olan durumlarda az olmak üzere değişir. Kaynama noktaları bir birine yakın olan likitler halinde P_1/P_2 oranının değişmediği kabul edilebilir.

Aktivite katsayılarının değişmesi ile relatif uçuculuğun değişmesi mümkün olmaktadır. γ_1 ve γ_2 nin değerlerinin artırılıp azaltılması α nin artıp azalmasını sağlar. Bununla beraber çözeltideki değişimleri gözönüne almak daha önemlidir.

1- İlavə komponent, karışımındaki A komponenti ile bir hidrojen köprüsü teşkil edip B komponenti ile etmediginde, A komponentinin etkin buhar basıncı azalacaktır. Bu nedenle α_{BA} artacaktır. Bu teknikten ekstraktif destilasyon proseslerinde geniş ölçüde yararlanılır.

2- İlavə komponent, A ve B ana komponentleri veya A molekülleri arasında mevcut hidrojen köprülerini bozuyorsa, A komponentinin etkin buhar basıncı B komponentinininden daha fazla artacağından α_{AB} de artacaktır. Bu azeotropik destilasyonlar i-

çin geçerlidir.

3- İlave edilen komponent,A komponentiyle minimum azeotrop teşkil ederek A komponentinin uçuculuğunu artırıyor,A ve ilave edilen komponent beraber destile olur,B komponenti ise kolonun dip tarafından ayrılır.Hidrojen bağlı teşekkülüne veya bozulmasına bakılmaksızın çoğu durumlarda (özellikle azeotropik destilasyonlarda) bu yöntem uygulanabilir.

1.21 Solvent Seçimliliği

Bir maddenin çözelti içerisindeki diğer komponentlerin davranışlarına etkinliği moleküller arası ilişkilerin bir sonucudur.Moleküller arası ilişkileri,Hildebrand(23),Van Arkel(27) ve London(24) fiziksel ve kimyasal olmak üzere iki kısımda incelemiştir.

Genellikle bir karışımdan ayrılması istenen komponentlerden biri için ilave edilen solventin seçimliliği,relatif uçuculuğun artması oranında artar.Relatif uçuculukla solvent konsantrasyonu arasında,belirli oranlardaki ana komponent yüzdesleri için çizilen grafik,solvent seçimliliği hakkında bir fikir verir.

1.22 Solvent Seçimliliğine Etki Eden Faktörler

Solvent seçimliliğine etki eden birçok faktör vardır.Bu faktörlerin kantitatif,hatta bazı durumlarda kalitatif anlamındaki etkileri ve yönleri tam olarak anlaşılamamıştır.Faktörlerin bazıları için yapılar deneysel incelemeler birkism sistemler için bir yaklaşım getirir .şse de, çoğu sistemler için teorik bir açıklama yapılamamıştır.

1.22.1 Temperatürün Solvent Seçimliliğine Etkisi

Temperatürün artması seçimliliğin azalmasına neden olmaktadır. Temperatürün artmasıyla karşılıklı çözünürlük de artmaktadır. Çözünürlüğün fiziksel etkilerine ilaveten hidrojen köprüleri-lerinin etkileri temperatur tarafından değiştirilir. Prausnitz(25) temperatürün artmasıyla hidrojen köprüsünün stabilitesinin azalı-ğını ve buna bağlı olarak da seçimliliğin azaldığını gözlemledi.

1.22.2 Basıncın Solvent Seçimliliğine Etkisi

Genel olarak aktivite katsayıları üzerine basıncın etkisi ihmali edilebilir. Bu nedenle seçimlilik üzerine etki etmediği söylenebilir. Bununla beraber yüksek basınçlarda bu etki ihmali edilemez duruma gelir. Artan basınçlarda karışımın kaynama noktası da artacağından, kısım 1.22.I de bahsedilen nedenlerle seçimlilik azalacaktır. Yani basıncın artması seçimliliği azaltır.

1.22.3 Solvent Oranının Seçimlilik Üzerine Etkisi

Solvent miktarının orijinal karışımın miktarına oranı se-çimliliği büyük ölçüde etkiler. Ekstraktif destilasyonda, orijinal karışımındaki komponentlerin kaynama noktalarından daha yüksek kay-nayan bir solvent ilavesi gereklidir. Bu ise sistemin kaynama noktasını yükselticektir. Azeotropik destilasyonda ise seçilen solvent sistemin kaynama noktasını daha düşürecek veya aynı kalmasını sağlayacaktır. Değişik solventler için seçimlilik hesabedilerek, uygun olan bir oran bulunur.

1.22.4 Molekülün Relatif Büyüklüğünün Seçimliliğe Etkisi

Prausnitz(22)molekül büyülüüğü ile seçimliliğin arttığını ifade etmiştir.

1.22.5 Hidrojen Köprsünün Seçimliliğe Etkisi

Bazı bileşiklerin formüllerinde gösterilenlerden başka, kendilerine has bazı özelliklere sahip oldukları denel olarak saptanmıştır. Bunlar fizikal ve kimyasal olmak üzere iki sınıfa ayrıılır. Hidrojen köprüleri karışımında ortaya çıkan kimyasal etkileşimsiz eder. Karışımın içeriği likitlerin yapılarına bağlı olarak hidrojen köprüsü meydana gelir veya mevcut hidrojen köprüsü bozulur yada etkisi azalır. Bütün bunlar ilave edilen solvente bağlıdır. Karışımdan ayırmak istediğimiz komponentlerden biri ile bir hidrojen köprüsü teşkil ederek diğer komponentin kolayca ayrılmasını sağlar. Azeotropik destilasyonda ise ana komponentler arasında mevcut hidrojen köprsünü bozmaları ve komponentlerden birisi ile minimum azeotrop, diğeri ile maksimum azeotrop veya azeotrop teşkil etmemelidir.

Hidrojen köprüleri karışımın özelliğine bağlı olarak seçimliliği artırır veya azaltır.

1.23 Seçimliliği Tahmin Etme Metotları

İlage edilen solventlerin seçimliliğini bulmanın en güvenilir ve kesin metodu, karışımı ait deneysel verilerin kullanılmasıdır. Tam bir deneysel inceleme, zaman aldığı, pahalı olduğu ve çok sayıda solventin incelenmesini gerektirdiği için özellikle başlangıçta yapılan çalışmalar ekonomik değildir. Diğer en güvenilir metot, ana komponentler ve solventi kapsayan üç ayrı ikili sisteme ait deneysel verilerin kullanılmasını ve ikili verileri kullanarak bazı teorik ve empirik metodlarla üçlü aktivite katsayılarıının tahminini kapsar. Gerekli ikili veriler mevcutsa, bu ekseriyetle yeterlidir. İkili sistemlerin bir veya iki noktasına ait deneysel verilerden hesaplanan Van Laar ve Margules denklemlerinin sabitlerini kullanarak relatif uçuculuktaki değişme tahmin edilebilir.

lir. Bu yöntem başlangıç çalışmaları için en uygun olanıdır. Güvenirliği az fakat mühendislik bakımından en arzu edilir metot, saf komponentlerin verilerinden seçimliliğin çıkarılmasıdır. Karışımın davranışları tahmin edilebiliyorsa, saf komponentlere ait verilerden konsantrasyon, temperatür ve basıncın bir fonksiyony olarak solventin seçimliliğinin tam bir matematiksel analizi yapılabilir.

1.24 Matematik olarak Seçimliliğin İfadesi

Kantitatif olarak seçimlilik, solvent ilavesindeki relativ uçuculuğun, solvent olmadığındaki relativ uçuculuğa oranı olarak ifade edilir.

$$S_{12} = \frac{\alpha_{12} \text{ Üçlü}}{\alpha_{12} \text{ İkili}} = \frac{\left(\frac{(y_1/x_1)}{(y_2/x_2)} \right) \text{ Üçlü}}{\left(\frac{(y_1/x_1)}{(y/x)} \right) \text{ İkili}} = \frac{\left(\frac{y_1 P_1}{y_2 P_2} \right) \text{ Üçlü}}{\left(\frac{y_1 P_1}{y_2 P_2} \right) \text{ İkili}} \quad (1.41)$$

Normal basınçlarda fügasite katsayıları birdir. Buna göre seçimlilik (1.42) şeklinde ifade edilebilir.

$$S_{12} = \frac{(\alpha_{12}) \text{ Üçlü}}{(\alpha_{12}) \text{ İkili}} = \frac{\left(\frac{y_1 P_1}{y_2 P_2} \right) \text{ Üçlü}}{\left(\frac{y_1 P_1}{y_2 P_2} \right) \text{ İkili}} \quad (1.42)$$

Sabit temperatürde buhar basınçları oranı sabit olduğundan, belirli bir temperatürde solvent varlığında ve solvent olmadığında, bir ve iki nolu ana komponentlerin relativ uçuculukları karşılaştırılır.

$$S_{12}^t = \frac{\left(\frac{y_1}{y_2} \right) \text{ Üçlü}}{\left(\frac{y_1}{y_2} \right) \text{ İkili}} \quad (1.43)$$

(1.43) formülünden de anlaşıldığı gibi normal basınçta ana komponentlerin solvent varlığındaki aktivite katsayıları oranı ile solvent olmadığındaki aktivite katsayıları oranına bölündüğünde seçimlilik bulunabilir. Seçimliliği kesin olarak mukayese etmek için, ana komponentlerin bir birine oranı her iki durumda da aynı olması lazımdır.

1.25 Robinson ve Gilliland Metodu(26)

Bu metot, ikili Van Laar sabitlerinden yararlanarak, bir karışımındaki aktivite katsayılarıyla münasebette olan Bonham(29) denklemlerine dayandırılmıştır. Bonham ve Van Laar denklemlerindeki ikili sabitler için bazı özel kabuller yapılarak(43) aşağıdaki denklem elde edilmiştir.

$$T \ln \frac{(\gamma_1/\gamma_2)_{\text{üçlü}}}{(\gamma_1/\gamma_2)_{\text{ikili}}} = 2 \left(\frac{1}{B_{12}} \right)^2 \left(\frac{1}{B_{13}} \right)^2 v_3 \quad (1.44)$$

v_3 = Solventin hacim fraksiyonudur

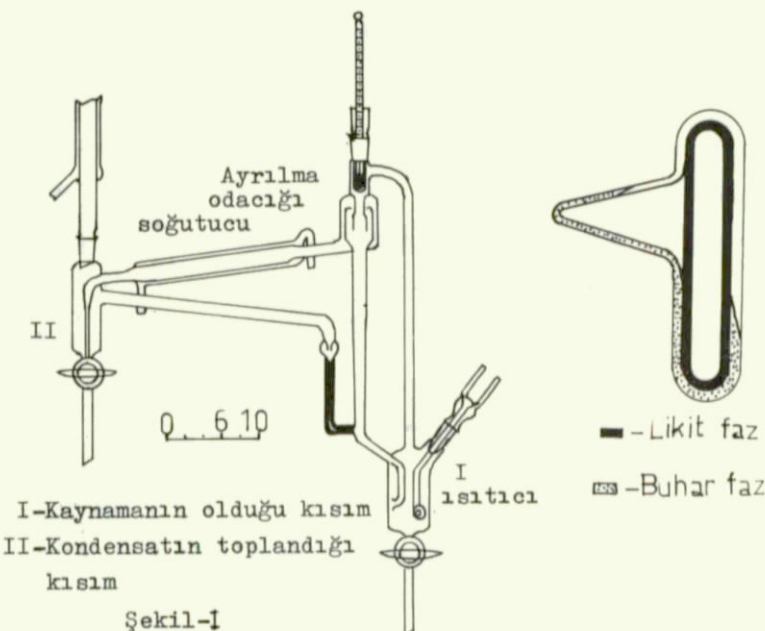
$T \ln \frac{(\gamma_1/\gamma_2)_{\text{üçlü}}}{(\gamma_1/\gamma_2)_{\text{ikili}}}$ oranı $\frac{(\alpha_{12})_{\text{üçlü}}}{(\alpha_{12})_{\text{ikili}}}$ oranı gibi değişir. Bu nedenle seçimliliğin bir göstergesi olabilir. Bu oran birin altında veya üstünde olmak üzere oldukça farklı ise relativ uçuculuğun solvent ilavesiyle değiştirilebileceğini ve iki komponentin bir birinden ayrılmasını kolaylaştıracığı açıktır. Solventin etkinliği, $(B_{12})^{0.5}$ değerinin ve v_3 değerinin büyük olmasıyla artar. En uygun v_3 değerinin 4-9 arasında olduğu saptanmıştır. $(B_{12})^{0.5}$ ve $(B_{13})^{0.5}$ değerlerinin işaretleri de önemli etkenlerdir.

11 DENEL KISIM

2.1.Denemelerin Yapıldığı Cihaz

Buhar-likit denge durumlarının incelenmesi için çeşitli cihazlar geliştirilmiştir.Bu cihazlardan Gillespie cihazı(21) ile literatürde bulunan buhar-likit dengeleri tekrarlandı ve iyi sonuçlar alındı.Bu nedenle Gillespie cihazı tercih edildi.

Gillespie Cihazı(21):Bu cihaz buhar sirkülasyonu esasına dayanır.Ancak aynı prensiple çalışan cihazlardan başlıca farkı,kaynanın likidin de buharla beraber ayrılma odacığına kadar hızlı bir şekilde taşınmasıdır.



Şekil-1

Cihaz şekil 1 de görüldüğü gibi iki ana kısımdan oluşmaktadır
1-Karışının konulduğu ve buna bağlı likidin devrettiği kısım.
2-Buharın kondanse olup tekrar hazneye döndüğü kısım.

Buhar ve likidin hazne içinde birbirinden ayrılmasına müsaade edilmez.Aksine Cotrell tübünden termometrenin bulunduğu bölgeye ka-

dar buhar ve likit bir bireyle çok sıkı temas halindedir. Buharın likitten ayrılmaması ancak ayrılma odacığında olur. Bu ayrılmada, herhangi şekilde reflüks olmamaktadır. Ayrılma odacığından kondansatörre geçen buhar, ouhar fazın toplandığı hazneye ulaşır ve tekrar kaynamanın olduğu kısma döner. Bu arada ayrılma odacığından aşağıya inen likit de kaynamanın olduğu kısma döner.

Sistem dengeye ulaştığında, kaynama kabından çıkan madde kompozisyonu ile, giren madde kompozisyonları bir birine eşittir. Aynı şekilde ayrılma odacığından ayrılan buhar ile, kaynama kabına dönen kondensat, miktar ve kompozisyon bakımından bir birine eşittir.

Sistemin dengeye ulaşması için, geçen süre enaz iki saatdir. Denge oluştuktan sonra kompozisyon değişimi olmayacağı için denge süresinin alt limitten fazla olmasının hiç bir zararı yoktur.

Kaynama kabında meydana gelen buharlar, Cotrell tübü içine bir likit akımı sağlar ve böylece buhar-likit karışımı ayrılma odağına kadar pompalanmış olur. Ayrılma odacığı iç içe geçmiş üç borudan ibarettir. En içteki borudan buhar-likit karışımı akar, orta boru cuktan buhar yukarı çıkarak kondansatöre geçer. Bu arada ayrılma odalığında, buharın kondanmasının olmaması gereklidir. Bilhassa yüksek kaynayan likitlerde ortaya çıkabilecek kondansasyonu önlemek için dıştan (kondansasyonu önleyecek kadar) ısıtılır.

Cihaz hem dıştan hemde içten ısıtılabilir. Dıştan ısıtmalarda sistemin kaynaması normal olmamakta ve aşırı ısınmalar olduğundan likidin kondensat yoluna taşmasına neden olmaktadır. İçten ısıtma daha düzgün bir kaynama sağladığı için tercih edilmiştir.

2.2. Cihazın Deneysel Verilerinin Uygunluğu

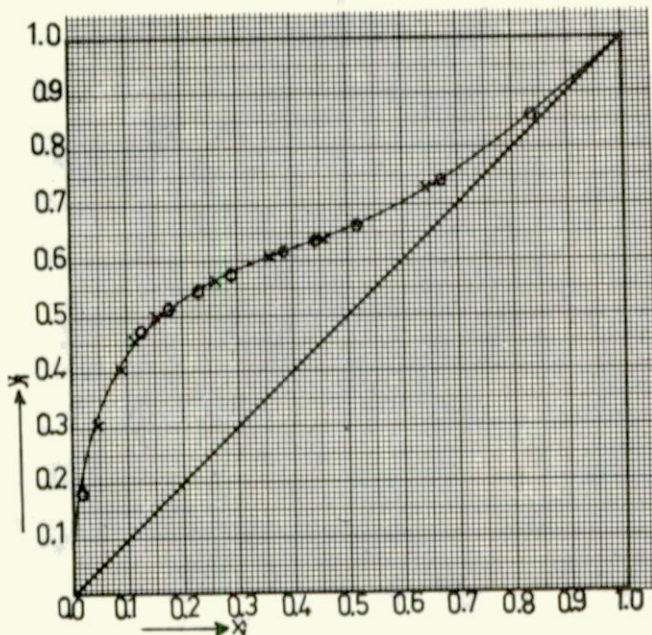
Cihazla yapılan deneylerden emin olmak amacıyla, literatürde bulunan bazı ikili buhar-likit sistemleri incelenmiştir.

2.2.1. Su-asetik asit

Bu ikili sistem değişik araştırmacılar (31, 35, 36, 39, 46) tarafından incelenmiştir. Deneyel olarak bulduğumuz değerlerle çizilen grafik, literatür değerleriyle çakışmaktadır. (Grafik 3)

2.2.2. Etanol-su

Bu ikili sistem değişik araştırmacılar (32, 37, 40) tarafından incelenmiştir. Denel olarak bulduğumuz sonuçların çizilen grafik 1 literatür değerleriyle çakışmaktadır.



Grafik 1 : Etanol-su ikili sisteminin buhar-

likit denge eğrisi.

x_1 = Likit fazdaki etanolun mol fraksiyonu.

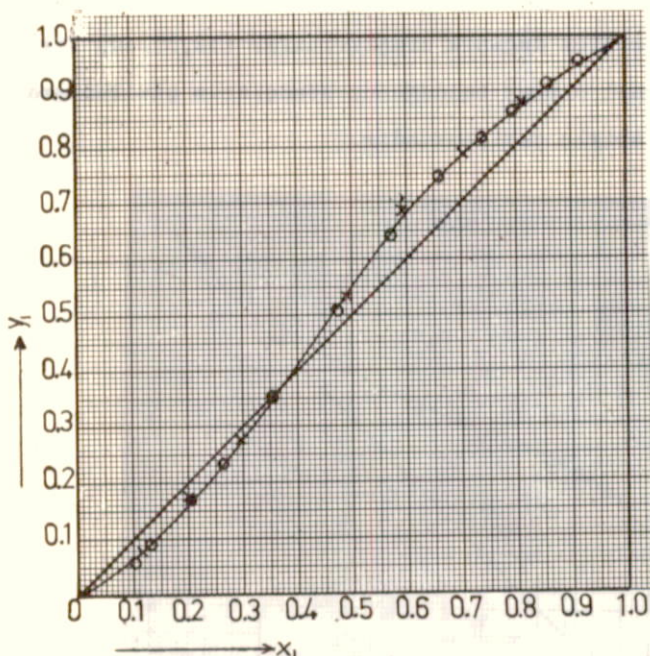
y_1 = Buhar fazdaki etanolun mol fraksiyonu.

o - Literatür (32) değerleri.

x - Gillespie cihazı ile bulunan değerler.

2.2.3 Aseton-kloroform

Bu ikili sistem değişik araştırmacılar (33,38) tarafından incelenmiştir. Denel olarak bulduğumuz sonuçlarla çizilen grafik 2 literatür değerleri ile çakışmaktadır.



Grafik 2 : Aseton-kloroform ikili sisteminin buhar-likit denge eğrisi.

x_1 = Likit fazdaki asetonun mol fraksiyonu.

y_1 = Buhar fazdaki asetonun mol fraksiyonu.

o - Literatür (33) değerleri.

x - Gillespie cihazı ile bulunan değerler.

Çalışmalarımızda kullandığımız cihaz, değişik üç sistem için doğru değerler verdiğiinden buhar-likit dengeleri incelenenek diğer bütün sistemler için de doğru sonuçlar vereceği kabul edilmiştir.

2.3 Su-Asetik asit ikili Sistemi (P=760 mmHg)

Bu ikili sistemin buhar-likit denge durumu değişik araştırmalar (31,35,36,39,46) tarafından incelenmiştir. Bu ikili sistemin x_1 ve x_2 grafiklerini çizmişlerdir. Altsheler (31), (1.15) formülü ile aktivite katsayılarını hesaplamıştır. Bu sistemin aktivite katayılarını şimdije kadar hiçbir araştırcı Van Laar ve Margules denklemlerini kullanarak hesaplamadığı için tarafımızdan yapılan hesaplamalar da çalışmamıza dahil edilmiştir.

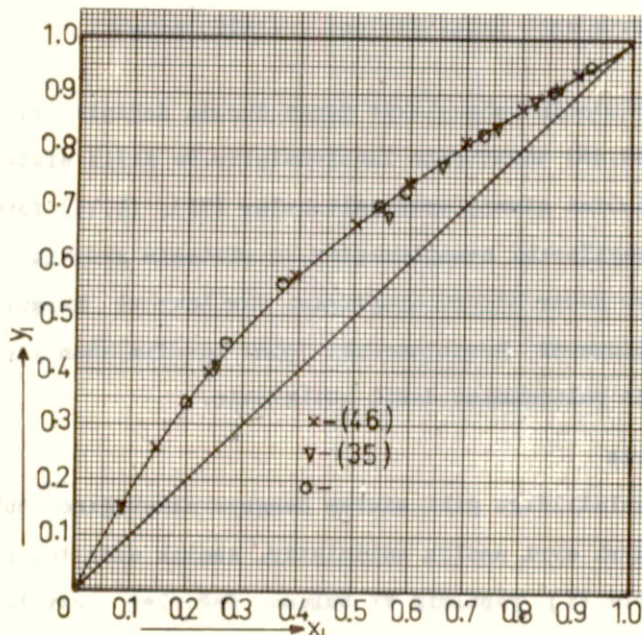
2.3.1 Analiz

(2.1) de anlatıldığı gibi sistem dengeye ulaşlığında buhar ve likit fazlar ayrı ayrı analiz edilmiştir. Asetik asit tayini sidimetrik metotla (1) yapılmış ve bulunan değerler cetvel-1 de verilmiştir.

Cetvel-1

K.N. °C	x_1	y_1	P_1 mmHg	P_2 mmHg
100.1	0.9601	0.9718	762.8	418.0
100.5	0.9259	0.9494	773.7	424.0
101.0	0.8644	0.9053	845.1	431.0
102.0	0.8053	0.8781	815.8	446.0
102.8	0.7328	0.8252	839.4	459.0
103.8	0.6027	0.7266	869.0	475.0
104.4	0.5470	0.7013	893.6	485.0
105.5	0.3724	0.5591	922.0	503.0
107.2	0.2754	0.4508	1046.0	569.8
110.6	0.2008	0.3412	1096.5	594.8

Cetvel-1 deki değerlerden yararlanarak x_1 ve x_2 grafikleri çizildi (grafik 3, grafik 4).



Grafik 3 : Su-asetik asit ikili sisteminin buhar-likit denge eğrisi.

x_1 = Likit fazdaki suyun mol fraksiyonu.

y_1 = Buhar fazdaki suyun mol fraksiyonu.

\times - Literatür (46) değerleri.

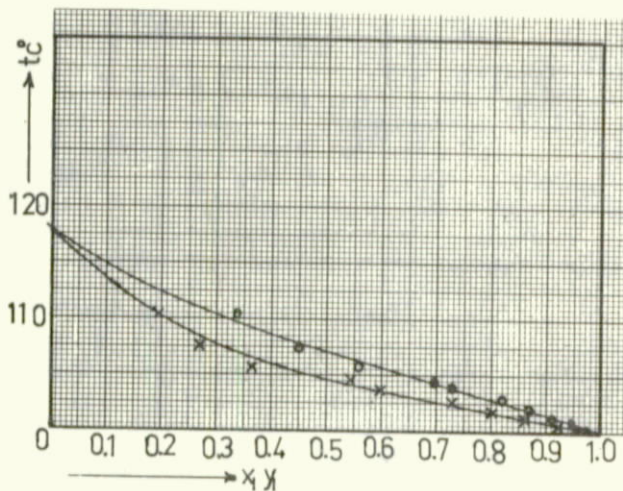
∇ - Literatür (35) değerleri.

\circ - Gillespie cihazı ile bulunan değerler.

2.3.2 (1.15) Denklemi yardımıyla cetvel-1 deki x noktasına ait y_1 ve y_2 değerleri bulundu.

$$y_1 = \frac{y_1^P t}{x_1^P} = \frac{0.7266 \cdot 760}{0.6027 \cdot 869} = 1.050$$

$$y_2 = \frac{y_2^P t}{x_2^P} = \frac{0.2734 \cdot 760}{0.3973 \cdot 475} = 1.119$$



Trafik 4 : Su-asetik asit ikili sisteminin kompozisyon-temperatur egrisi.

x_1 = Likit fazdaki suyun mol fraksiyonu.

y_1 = Buhar fazdaki suyun mol fraksiyonu.

Bulunan bu y_1 ve y_2 degerlerinden yararlanarak Margules sabitleri hesabedildi.

$$\frac{\ln y_1}{x_2^2} = b + cx_2 \quad \frac{\ln y_2}{x_1^2} = b + c(0.5 + x_2)$$

$$\ln y_1 = 0.0488$$

$$\ln y_2 = 0.1122$$

$$\frac{0.0488}{(0.3973)^2} - \frac{0.1122}{(0.6027)^2} = 0.5 c$$

$$c = -0.0884$$

$$b = 0.3442$$

2.3.3 Bulunan bu sabitlerin değerleri Margules denklemlerinde yerlerine konularak diğer bütün noktaların aktivite katsayıları heslandı(cetvel-2). Aktivite katsayılarının likit faz kompozisyonu ile değişimi grafik 7 de gösterildi.

Cetvel-2				
y_1	y_1^*	y_2	y_2^*	y_1
1.0006	0.9733	1.3140	0.0288	0.9713
1.0019	0.9449	1.2860	0.0531	0.9468
1.0061	0.9012	1.2400	0.0953	0.9044
1.0125	0.8752	1.2010	0.1372	0.8945
1.0230	0.8281	1.1500	0.1871	0.8157
1.0500	0.7236	1.1190	0.2778	0.7225
1.0640	0.6846	1.0810	0.3124	0.6867
1.1200	0.5062	1.0340	0.4297	0.5409
1.2391	0.4695	1.0350	0.5622	0.4550

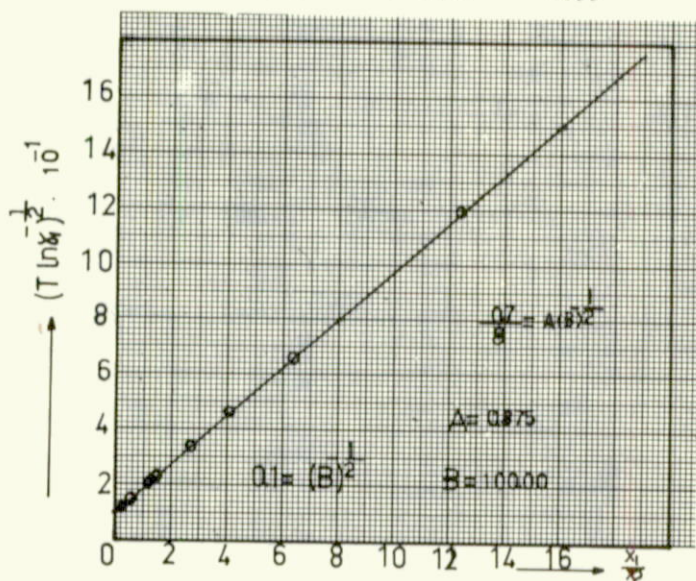
Cetvel-2 de hesabedilen y_1 ve y_2 değerlerinin toplamının bir olması gerekiğinden y_1 in gerçek değeri $y_1 = \frac{y_1^*}{y_1^* + y_2^*}$ bağıntısından bulunur.

2.3.4 Denel olarak bulunan buhar kompozisyonları ile hesabedilenler arasındaki farktan (Δy) yararlanarak % sapma değerleri heslandı.% Sapma değerlerinden ortalama %sapma 7.9 olarak bulundu.

Denel olarak bulunan y_1 ve hesaplanan y_1 değerleri arasında çizilen grafiğin eğimi bir olan doğru olması, hesaplamaların deneylerle uygun olduğunu kanıtlar.Ayrıca ortalama % sapma değerinin 11 den küçük olması da Margules denklemlerinin su-asetik asit sisteme uygun olduğunu gösterir.

Cetvel-3

x_1	y_1 denel	y_1 denel	$\left \frac{\Delta y}{(y_1 - x_1)} \right _{100}$ denel
0.9601	0.9718	0.9713	4.27
0.9259	0.9494	0.9468	11.06
0.8644	0.9053	0.9044	2.02
0.8053	0.8781	0.8645	18.68
0.7328	0.8252	0.8157	10.28
0.6027	0.7266	0.7225	3.31
0.5470	0.7013	0.6867	9.46
0.3724	0.5591	0.5409	9.75
0.2754	0.4508	0.4550	2.39



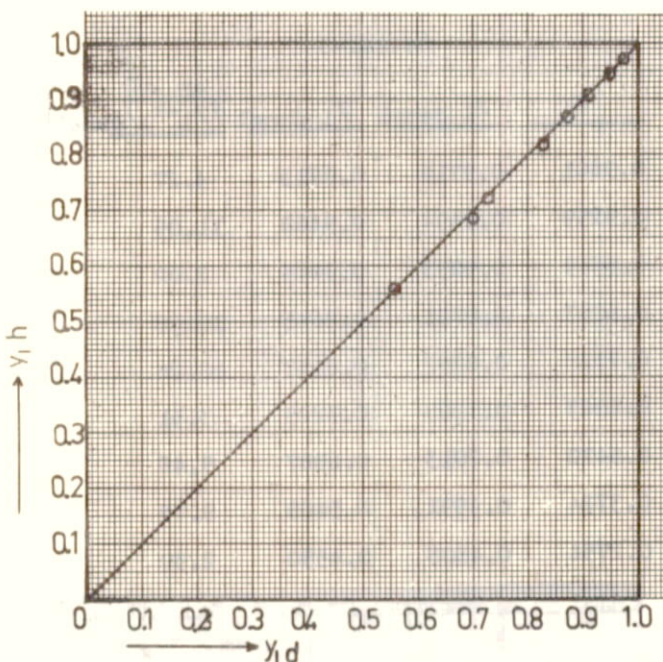
Grafik 5 : Van Laar sabitlerinin grafikten tayini.

x_1 = Likit fazdaki suyun mol fraksiyonu.

x_2 = Likit fazdaki asetik asidin mol fraksiyonu.

γ_1 = Suyun aktivite katsayisi.

A,B= Van Laar sabitleri.



Grafik 8 : Su-asetik asit ikili sisteminin Margules denklemlerinin yardımcı ile hesabedilen buhar faz kompozisyonu ile, denel olarak bulunan değerler arasındaki ilişki.

y_{1d} = Suyun denel olarak bulunan buhar fazındaki mol fraksiyonu.

y_{1h} = Suyun Margules denklemleri yardımcı ile hesaplanan buhar fazındaki mol fraksiyonu.

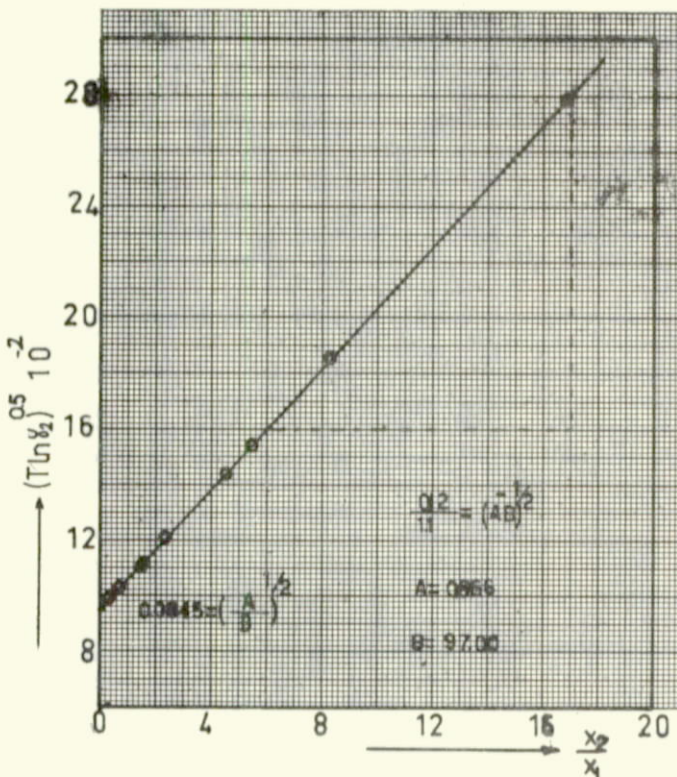
2.3.5 Van Laar Denklemlerinin Su-Asetik Asit sistemine Uygulanması

Aktivite katsayılarının Van Laar denklemleri 1.27, 1.28 yararımlıla hesaplanabilmesi için A ve B sabitlerinin bulunması gereklidir. Bu amaçla Van Laar denklemleri aşağıdaki şekilde yazılmıştır, bunların bir doğru denklemi olduğu görülmektedir.

$$(T \ln \gamma_1)^{\frac{1}{2}} = (B)^{0.5} + A(B)^{0.5} \frac{x_1}{x_2}$$

$$(T \ln \gamma_2)^{-0.5} = \left(\frac{A}{B}\right)^{0.5} + (AB)^{-0.5} \frac{x_2}{x_1}$$

$T \ln \gamma_1$ ile $\frac{x_1}{x_2}$ ve $T \ln \gamma_2$ ile $\frac{x_2}{x_1}$ arasında çizilen doğruların (grafik 5 ve 6) $T \ln \gamma_1$ ve $T \ln \gamma_2$ eksenlerini kestiği noktaların sırasıyla (B) ve $\left(\frac{A}{B}\right)^{0.5}$ e, eğimlerinin ise $A(B)^{-0.5}$ ve $(AB)^{-0.5}$ e eşit olacağı aşıkardır.



Grafik 6 : Van Laar sabitlerinin grafikten tayini.

x_1 = Likit fazdaki suyun mol fraksiyonu.

x_2 = Likit fazdaki asetik asidin mol fraksiyonu.

γ_2 - Asetik asidin aktivite katsayısı.

A, B=Van Laar sabitleri.

Bu iki grafikten A ve B sabitleri bulunup ortalaması alındı.

$$A_1 = 0.875 \quad A_2 = 0.866 \quad A_{\text{ort.}} = 0.87$$

$$B_1 = 100.00 \quad B_2 = 97.00 \quad B_{\text{ort.}} = 98.5$$

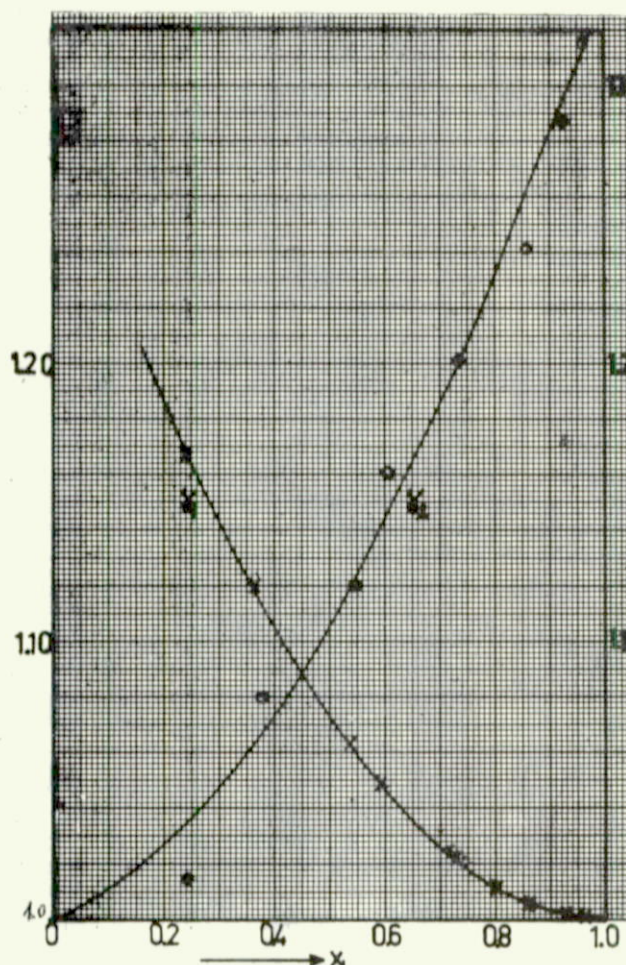
2.3.6 A ve B sabitleri Van Laar denklemlerinde yerlerine konularak çeşitli konsantrasyonlar için aktivite katsayıları hesabedildi. Bulunan aktivite katsayıları 1.15 denkleminde yerine konularak buhar faz kompozisyonları hesabedildi. Cetvel-4

Cetvel-4

γ_1	y_1^*	γ_2	y_2^*	y_1
1.001	0.9644	1.318	0.0289	0.9709
1.002	0.9442	1.289	0.0533	0.9466
1.006	0.9012	1.243	0.0955	0.9042
1.012	0.8752	1.203	0.1374	0.8643
1.023	0.8280	1.161	0.1874	0.8155
1.050	0.7234	1.102	0.2735	0.7255
1.064	0.6848	1.082	0.3128	0.6864
1.120	0.5059	1.035	0.4300	0.5405
1.158	0.4101	1.017	0.5169	0.4424
1.189	0.3444	1.009	0.6315	0.3329

Cetvel-4 deki hesaplanan y_1 ile y_2 değerleri toplamının bir olması gerekiğinden gerçek $y_1 = \frac{y_1^*}{y_2^* + y_1^*}$ e eşittir.

2.3.7 Hesabedilen buhar faz kompozisyonu ile denel olarak bulunan buhar faz kompozisyonları arasındaki farklardan % sapma değerleri hesap edildi. Cetvel-5. %Ortalama sapma 8.3 olup, 11 den küçük olduğu için Van Laar denklemlerinin bu sisteme uygun olduğu saptandı.



Grafik 7 : Su-asetik asit ikili sisteminin aktivite katsayılarının kompozisyonla değişimi.

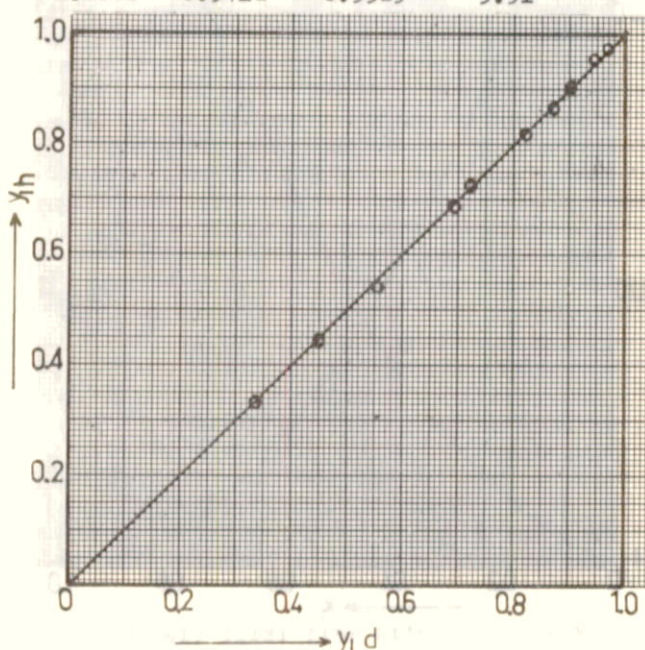
γ_1 - Suyun aktivite katsayısı.

γ_2 - Asetik asidin aktivite katsayısı.

x_1 = Likit fazdaki suyun mol fraksiyonu.

Cetvel-5

x_1	$y_{1\text{ d}}$	$y_{1\text{ h}}$	$\left \frac{\Delta y \cdot 100}{(y_1 - x_1)} \right $
0.9601	0.9718	0.9709	7.69
0.9259	0.9494	0.9466	11.90
0.8644	0.9053	0.9042	2.69
0.8053	0.8781	0.8643	18.95
0.7328	0.8252	0.8155	10.95
0.6027	0.7266	0.7255	0.90
0.5470	0.7013	0.6864	9.65
0.3724	0.5591	0.5405	9.96
0.2725	0.4508	0.4424	4.79
0.2008	0.3412	0.3329	5.91



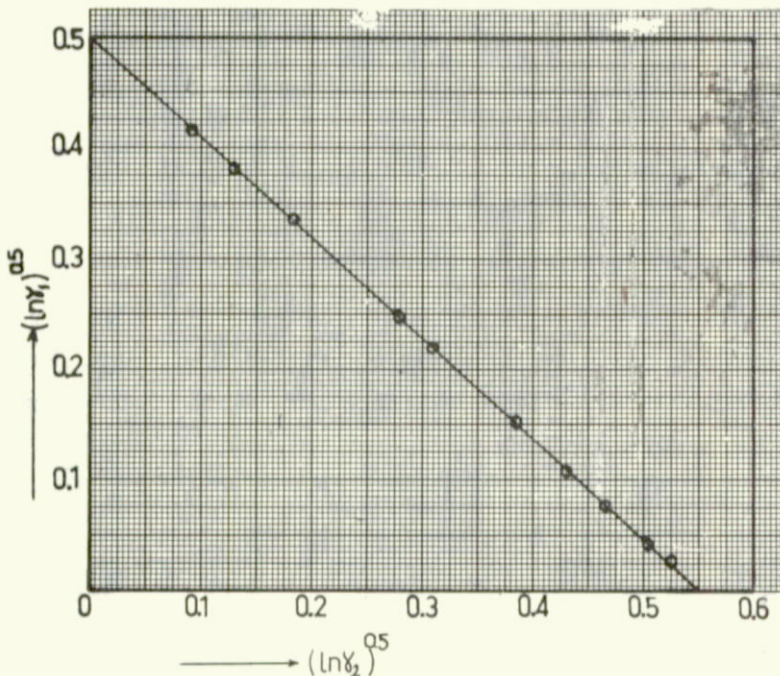
Grafik 9 : Su-asetik asit ikili sisteminin denel olarak bulunan ve hesaplanan buhar kompozisyonları arasındaki ilişki.

$y_{1\text{d}}$ = Suyun denel olarak bulunan buhar fazdaki mol fraksiyonu.

$y_{1\text{h}}$ = Van Laar denklemlerinden yararlanara hesaplanan buhar fazdaki suyun mol fraksiyonu.

Denel olarak bulunan ve hesabedilen buhar faz kompozisyonları arasında çizilen grafiğin (grafik 9) eğimi bir doğrular olması, Van Laar denklemlerinin bu sisteme uygunluğunun bir kanıtidır.

2.3.8 Van Laar denklemlerinin su-asetik asit sistemine uygunluğunun kontrolü amacıyla Black(10) testi uygulandı. Buna göre $(\ln \gamma_1)^{0.5}$ ile $(\ln \gamma_2)^{0.5}$ arasında çizilen grafik bir doğrular ise, denklem sisteme uygun olduğu söylenir. Hesapladığımız değerlerle çizilen grafik (grafik 10) bir doğrular olduğu için, Van Laar denklemleri su-asetik asit sistemine uygulanabilir.



Grafik 10 : Su-asetik asit ikili sistemine
Black testinin uygulanması.

γ_1 - Suyun aktivite katsayıısı.

γ_2 - Asetik asidin aktivite katsayıısı.

Cetvel-6

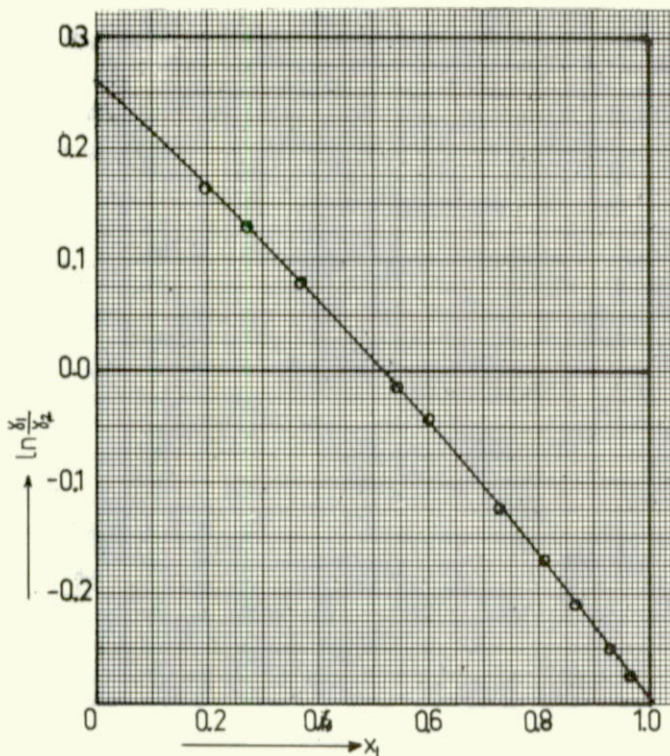
$(\ln \gamma_1)^{0.5}$	$(\ln \gamma_2)^{0.5}$
0.032	0.525
0.045	0.504
0.077	0.466
0.109	0.430
0.152	0.387
0.221	0.311
0.249	0.281
0.336	0.187
0.382	0.130
0.416	0.095

2.3.9 Van Laar denklemlerinin su-asetik asit sistemine uygunluğunun kontrolü amacıyla Redlich-Kister(18) testi uygulandı. Bu teste göre, $\ln \frac{\gamma_1}{\gamma_2}$ ile x_1 arasında çizilen grafikin, $\ln \frac{\gamma_1}{\gamma_2} = 0$ doğrusunun altında ve üstündeki alanların eşitliği, denklemin sisteme uygunluğunu gösterir.

Hesapladığımız değerlerle çizilen grafik yukarıdaki testi gerçekleştirdiği için, Van Laar denklemleri bu sistem için geçerlidir.

Cetvel-7

$\ln \frac{\gamma_1}{\gamma_2}$	x_1
-0.275	0.9601
-0.252	0.9259
-0.212	0.8644
-0.172	0.8053
-0.126	0.7328
-0.048	0.6027
-0.017	0.5470
0.079	0.3724
0.130	0.2754
0.163	0.2008



Grafik 11 : Su-asetik asit ikili sistemine Redlich-Kister testinin uygulanması.

x_1 =Suyun likit fazdaki mol fraksiyonu.

γ_1 = Suyun aktivite katsayısı.

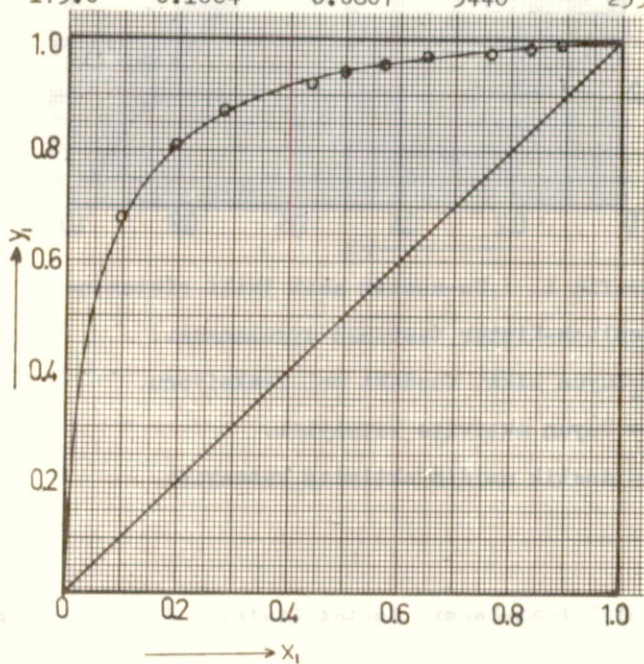
γ_2 = Asetik asidin aktivite katsayısı.

2.4 Asetik Asit-Benzil Asetat Sistemi ($P = 760 \text{ mmHg}$)

2.4.1 (2.1) de anlatıldığı gibi sistem dengeye ulaştığında buhar ve likit fazlar ayrı ayrı analiz edildi. Asetik asit asidimetrik metotla (1) tayin edildi ve bulunan değerler cetvel-8 de gösterildi.

Cetvel-8

K.N ⁰ C	x ₁	y ₁	P ₁ mmHg	P ₁ mmHg
122.2	0.8927	0.9879	840	38
124.7	0.8302	0.9789	895	43
127.5	0.7594	0.9744	965	49
132.7	0.6464	0.9695	1112	58
136.3	0.5732	0.9543	1230	65
x 140.5	0.5000	0.9400	1395	78
144.5	0.4401	0.9170	1560	91
155.5	0.2784	0.8726	2140	140
162.5	0.2000	0.8100	2562	170
175.0	0.1004	0.6807	3440	255

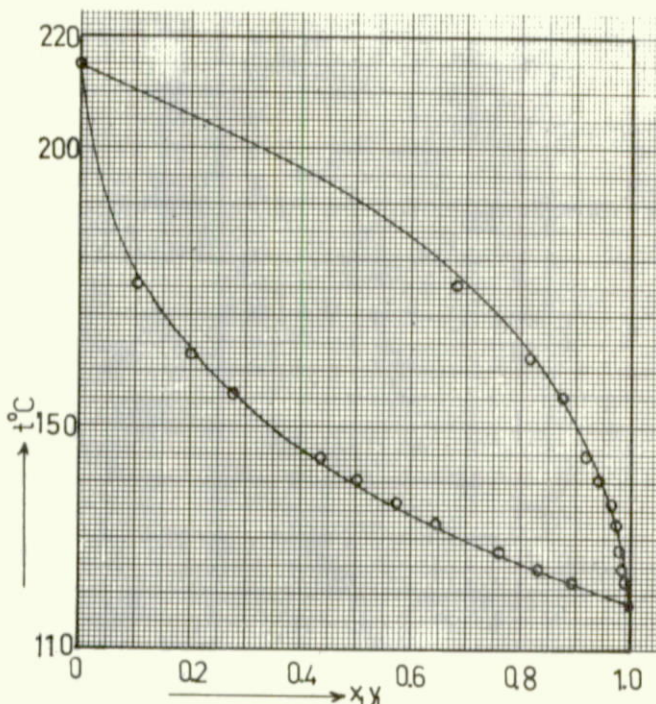


Grafik 13 : Asetik asit-benzil asetat ikili sisteminin buhar-likit denge eğrisi.

x₁ = Asetik asidin likit fazdaki mol fraksiyonu.

y₁ = Asetik asidin buhar fazdaki mol fraksiyonu.

Cetvel-8 deki değerlerle bu ikili sistemin txy ve xy grafikleri (grafik 12-13) çizildi.



Grafik 12 : Asetik asit-benzil asetat ikili sisteminin temperatur-kompozisyon eğrisi.

x_1 = Asetik asidin likit fazdaki mol fraksiyonu.

y_1 = Asetik asidin buhar fazdaki mol fraksiyonu.

2.4.2 (1.15) denkleminden yararlanarak cetvel-8 deki x noktasına ait y_1 ve y_2 değerleri hesabedildi.

$$y_1 = \frac{y_1 P_t}{x_1 P_1} = \frac{0.9400 \cdot 760}{0.5000 \cdot 1395} = 1.024$$

$$y_2 = \frac{y_2 P_t}{x_2 P_2} = \frac{0.0600 \cdot 760}{0.5000 \cdot 78} = 1.169$$

Yukarıda hesabedilen aktivite katsayıları Margules denklemelerinde yerine konularak b ve c sabitleri tayin edildi.

$$\frac{\ln \gamma_1}{x_2^2} = b + c x_2 \quad \text{ve} \quad \ln \gamma_2/x_1^2 = b + c(0.5 + x_2)$$

$$b = -0.435$$

$$c = 1.059$$

2.4.3 Bu sabitler Margules denklemelerinde yerlerine konularak diğer bütün noktaların aktivite katsayıları hesabedildi. Cetvel-9

Cetvel-9

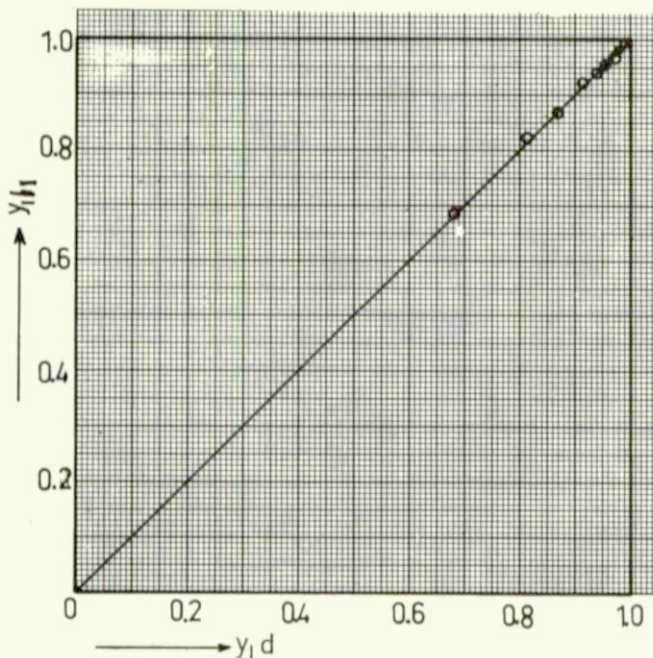
γ_1	y_1^*	γ_2	y_2^*	y_1
0.996	0.9827	1.180	0.0063	0.9936
0.995	0.9837	1.208	0.0116	0.9883
0.990	0.9591	1.223	0.0190	0.9806
0.992	0.9470	1.216	0.0328	0.9665
1.003	0.9305	1.197	0.0437	0.9551
1.024	0.9397	1.169	0.0600	0.9400
1.051	0.9614	1.142	0.0783	0.9247
1.187	0.9609	1.105	0.1469	0.8674
1.302	0.8777	1.014	0.1858	0.8253
1.520	0.6909	1.011	0.3050	0.6937

Hesabedilen aktivite katsayıları (1.15) denkleminde yerine konularak, buhar faz kompozisyonları hesabedildi. (cetvel-9)

$$y_1 + y_2 = 1.0 \text{ olduğundan, gerçek } y_1 = \frac{y_1^*}{y_1^* + y_2^*} \text{ ye eşittir.}$$

2.4.4 Denel olarak bulunan ve hesabedilen buhar kompozisyonları arasındaki farktan yararlanarak % sapma değerleri hesabedildi (cetvel-10). Ortalama % sapma değeri 2.3 olup, 0-5 aralığında olduğundan, Margules denklemeleri bu sistem için iyi sonuçlar verdiği bir kanıtıdır.

Denel olarak bulunan ve hesabedilen buhar faz kompozisyonları arasında çizilen grafiğin eğimi bir olan doğru olması eneylelerle hesapların uygunluğunun bir kanıtıdır (grafik 15).



Grafik 15 : Asetik asit-benzil asetat ikili sisteminin Margules denklemleri yardımı ile hesaplanan ve denel olarak bulunan buhar faz kompozisyonları arasındaki ilişki.

y_1^d = Asetik asidin denel olarak bulunan buhar fazdaki mol fraksiyonu.

y_1^h = Asetik asidin Margules denklemleri yardımı ile hesaplanan buhar fazdaki mol fraksiyonu.

Cetvel-10

x_1	$y_{1\ d}$	$y_{1\ h}$	$\frac{\Delta y}{(y_1 - x_1)} \cdot 100$
0.8927	0.9879	0.9936	5.98
0.8302	0.9789	0.9883	6.32
0.7594	0.9744	0.9806	2.88
0.6464	0.9695	0.9665	0.93
0.5732	0.9543	0.9551	0.21
0.5000	0.9400	0.9400	0.00
0.4401	0.9170	0.9247	1.61
0.2784	0.8726	0.8674	0.87
0.2000	0.8100	0.8253	2.51
0.1004	0.6807	0.6937	1.75

2.4.5 Van Laar denklemlerinin asetik asit-benzil asetat sistemine uygulanması.

Aktivite katsayılarının Van Laar denklemleriyle hesabedilebilmesi için, A ve B sabitlerinin bilinmesi gereklidir. Bu amaçla cetvel-8 deki x noktasından yararlanarak 2.4.2 de olduğu gibi (1.15) denklemiyle aktivite katsayıları hesabedildi. Bulunan aktivite katayıları denklem (1.29) da yerine konularak A sabiti, bunun (1.27) denkleminde yerine konulmasıyla da B sabiti hesaplandı.

$$\gamma_1 = 1.0242 \quad \ln \gamma_1 = 0.0239$$

$$\gamma_2 = 1.1691 \quad \ln \gamma_2 = 0.1562$$

$$A = \frac{\ln \gamma_2}{\ln \gamma_1} \left(\frac{x_2}{x_1} \right)^2 = \frac{0.1562}{0.0239} \left(\frac{0.5000}{0.5000} \right)^2 = 6.53$$

$$B = T \ln \gamma_1 \left(\frac{x_1}{x_2} + 1 \right)^2 = 413.5 \cdot 0.0239 \cdot (6.53 + 1)^2 = 561$$

$$A = 6.53 \quad B = 561$$

2.4.6 Yukarıda bulunan A ve Bsabitleri Van Laar denklemle-rinde yerlerine konularak geçitli likit kompozisyonlarına ait aktivite katsayıları hesabedildi (cetvel-11). Aktivite katsayılarının likit faz kompozisyonu ile değişimi grafik 14 de gösterildi.

Cetvel-11

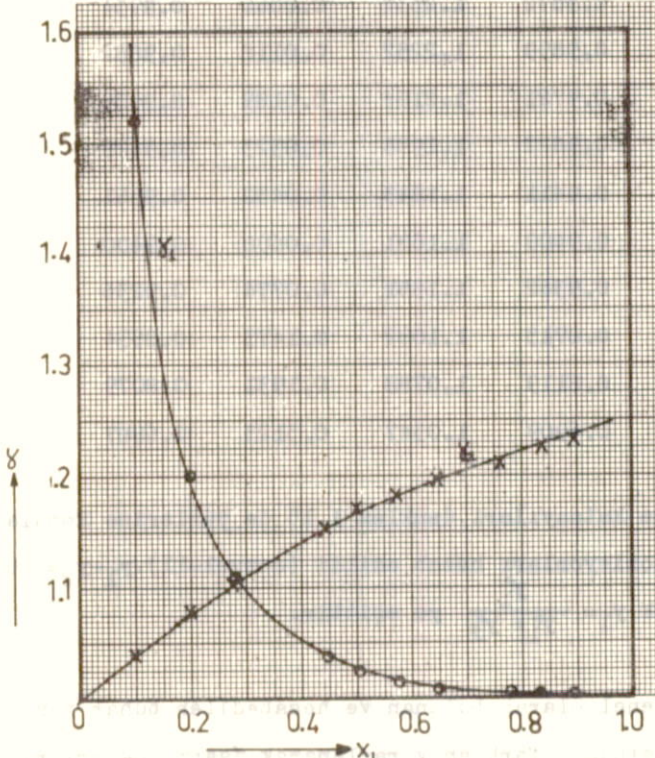
γ_1	y_1^*	γ_2	y_2^*	y_1
1.0005	0.9872	1.2332	0.0066	0.9934
1.0013	0.9899	1.2252	0.0118	0.9882
1.0030	0.9721	1.2153	0.0189	0.9809
1.0083	0.9622	1.1976	0.0323	0.9675
1.0145	0.9411	1.1843	0.0432	0.9561
1.0242	0.9400	1.1691	0.0600	0.9400
1.0364	0.9362	1.1551	0.0774	0.9236
1.1115	0.8713	1.1082	0.1473	0.8554
1.2043	0.8119	1.0788	0.1931	0.8079
1.5204	0.6909	1.0347	0.3123	0.6887

Aktivite katsayıları denklem 1.15 de yerlerine konularak buhar faz kompozisyonları hesap edildi (cetvel-11). $y_1 + y_2 = 1.0$ olduğundan, gerçek $y_1 = \frac{y_1^*}{y_1^* + y_2^*}$ ye eşittir.

2.4.7 Denel olarak bulunan ve hesabedilen buhar faz kompozisyonları arasındaki farktan yararlanarak %sapma değerleri hesab edildi (cetvel-12). Ortalama % sapma değeri 2.2 olup 0-5 aralığında olduğundan Van Laar denklemleri bu sistem için iyi sonuçlar verdiğini kanıtlar.

Cetvel-12

x_1	y_{1d}	y_{1h}	$\frac{y_{100}}{(y_1 - x_1)_d}$
0.8927	0.9879	0.9934	5.8
0.8302	0.9789	0.9882	6.2
0.7594	0.9744	0.9809	3.0
0.6464	0.9695	0.9675	0.6
0.5732	0.9543	0.9561	0.4
0.5000	0.9400	0.9400	0.0
0.4401	0.9170	0.9236	1.4
0.2784	0.8726	0.8554	2.9
0.2000	0.8100	0.8079	0.3
0.1004	0.6807	0.6887	1.4



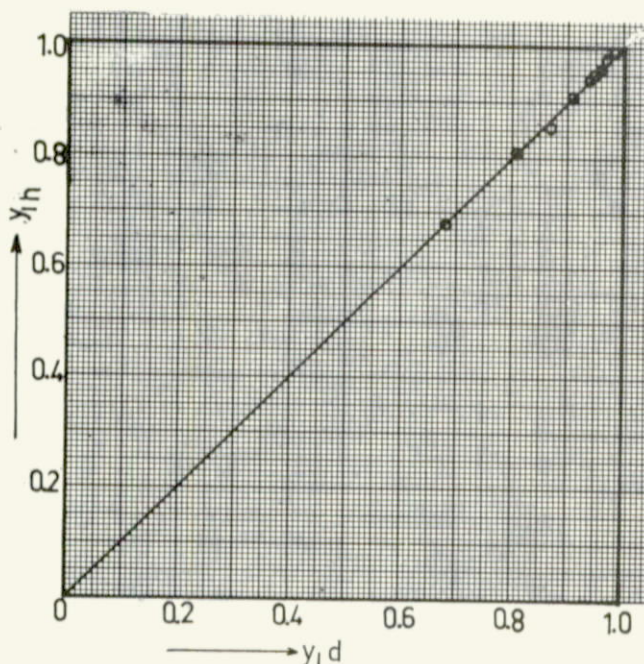
Grafik 14 : Asetik asit-benzil asetat ikili sisteminin aktivite katsayılarının likit faz kompozisyonu ile değişimi.

x_1 = Asetik asidin likit fazdaki mol fraksiyonu.

γ_1 = Asetik asidin aktivite katsayısı.

γ_2 = Benzil asetatın aktivite katsayısı.

Denel olarak bulunan ve hesabedilen buhar faz kompozisyonları arasında çizilen grafiğin (grafik 16) eğimi bir olan doğru olması yapılan hesaplamaların denel sonuçlarla uygun olduğunu bir kanıtıdır.



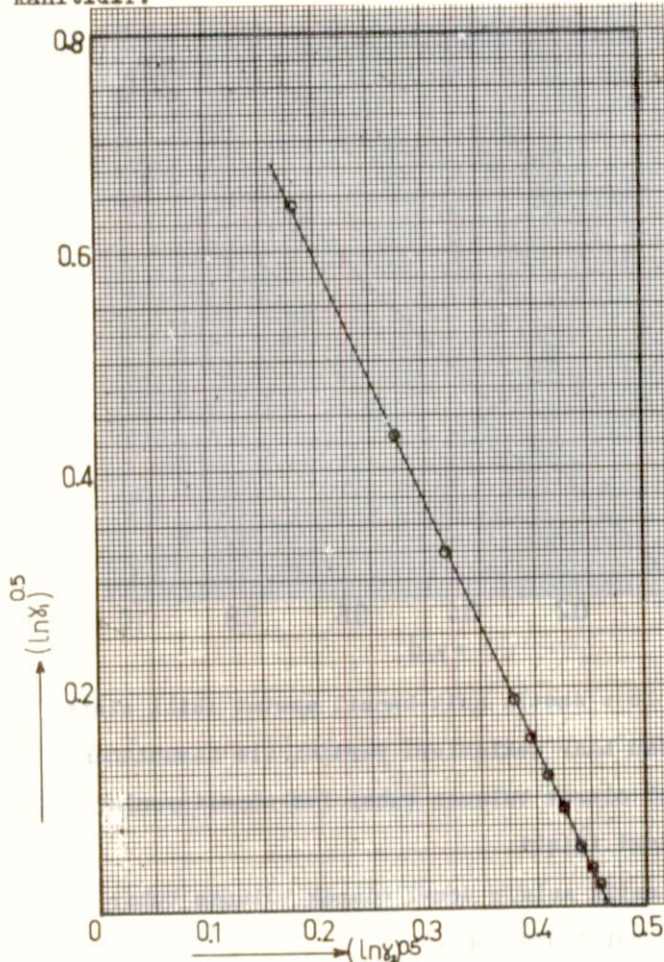
Grafik 16 : Asetik asit-benzil asetat ikili sisteminin Van Laar denklemleri yardımı ile hesaplanan ve denel olarak bulunan buhar fazkompozisyonları arasındaki ilişki.

y_1^d = Asetik asidin denel olarak bulunan buhar fazdaki mol fraksiyonu.

y_1^h = Van Laar denklemleri yardımı ile hesaplanan asetik asidin buhar fazdaki mol fraksiyonu.

2.4.8 Black (10) testinin, asetik asit-benzil asetat sisteme Van Laar denklemlerinin uygunluğunu kontrol amacıyla uygulanması.

$(\ln \gamma_1)^{0.5}$ ile $(\ln \gamma_2)^{0.5}$ arasında çizilen grafiğin (grafik 17) doğrusal olması Van Laar denklemlerinin bu sisteme uygun olduğunu bir kanıtıdır.



Grafik 17 : Asetik asit-benzil asetat ikili sisteme Black testinin uygulanması.

γ_1 = Asetik asidin aktivite katsayıısı.

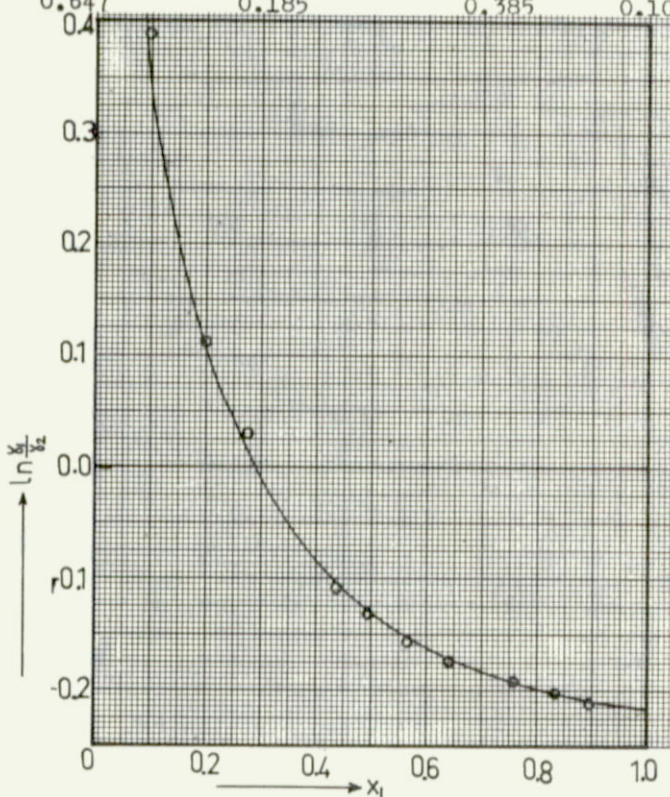
γ_2 =Benzil asetatın aktivite katsayıısı.

Cetvel-13

$(\ln \gamma_1)^{0.5}$	$(\ln \gamma_2)^{0.5}$
0.022	0.458
0.036	0.451
0.055	0.442
0.091	0.425
0.120	0.411
0.155	0.395
0.189	0.380
0.325	0.320
0.431	0.275
0.647	0.185

Cetvel-14

$\ln \frac{\gamma_1}{\gamma_2}$	x_1
0.209	0.8927
0.202	0.8302
0.192	0.7594
0.172	0.6464
0.155	0.5732
0.132	0.5000
0.108	0.4401
0.003	0.2784
0.110	0.2000
0.385	0.1004



Grafik 18 : Asetik asit-benzil asetat ikili sisteme Redlich-Kister testinin uygulanması.

x_1 = Asetik asidin likit fazdaki mol fraksiyonu.

γ_1 = Asetik asidin aktivite katsayısı

γ_2 = Benzil asetatın aktivite katsayısı.

2.4.9 Redlich-Kister testi uygulandı.

Grafik 18 den de görüldüğü gibi $\ln \frac{y_1}{y_2} = 0$ doğrusuyla eğri arasında kalan alttaki alanla, üsteki alan bir²birine hemen hemen eşit olduğu için, Van Laar denklemleri asetik asit-benzil asetat sistemine uygundur.

2.5 Asetik Asit-Dietil Malonat Sistemi ($P = 760 \text{ mmHg}$)

2.5.1 Sistem dengeye ulaştığında buhar ve likit fazlar ayrı ayrı analiz edildi. Asetik asit asidimetrik metotla (*i*) tayin edildi. Sonuçlar cetvel-15 de gösterildi.

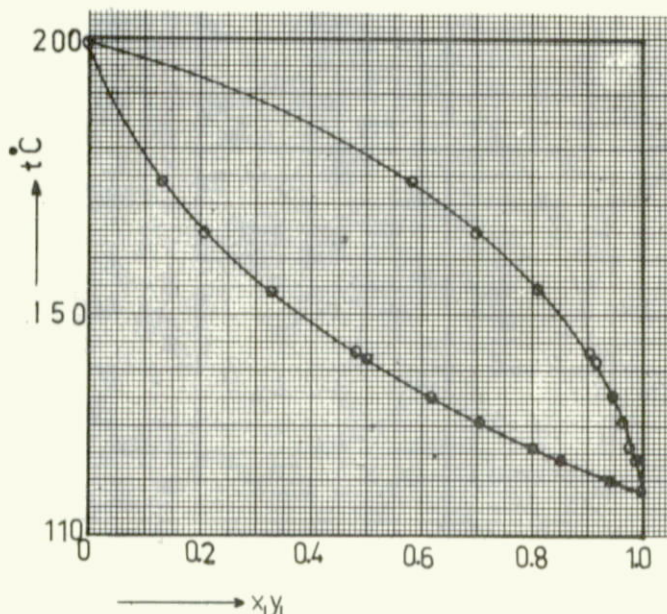
Cetvel-15

K.N. °C	y_1	x_1	P_1	P_2
120.0	0.9924	0.9379	800	53
124.0	0.9875	0.8545	884	63
126.5	0.9766	0.8000	940	70
131.0	0.9632	0.7028	1070	82
135.5	0.9480	0.6144	1217	97
142.0	0.9150	0.5000	1450	125
143.0	0.8999	0.4794	1510	130
154.0	0.8046	0.3288	2050	191
164.5	0.6998	0.2092	2700	270
175.0	0.5853	0.1373	3440	380

Cetvel-15 deki değerlerden yararlanarak asetik asit-dietil malonat sisteminin txy ve xy grafikleri çizildi. (grafik 19-20).

2.5.2 Margules denklemlerinin asetik asit-dietil malonat sistemine uygulanması.

(1.15) Förmülünden yararlanarak cetvel-15 deki x noktasına ait aktivite katsayıları hesabedildi.



Grafik 19 : Asetik asit-dietil malonat ikili sisteminin temperatur-kompozisyon eğrisi.

x_1 = Asetik asidin likit fazdaki mol fraksiyonu.

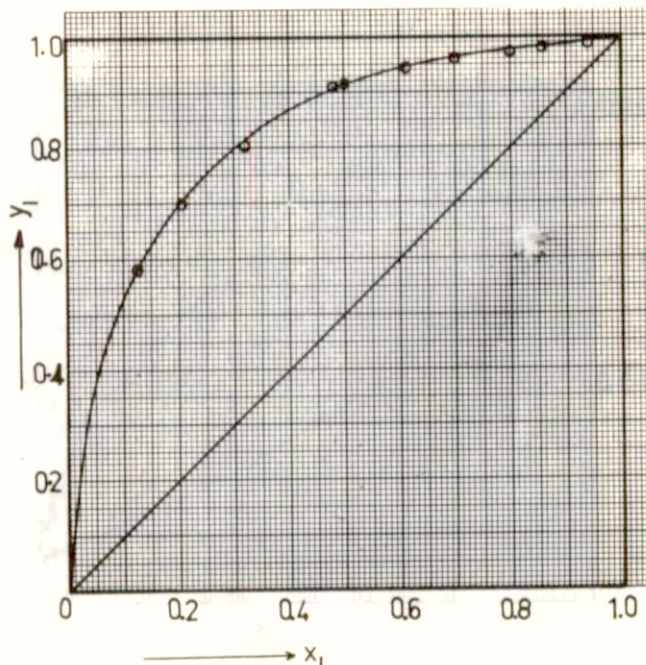
y_1 = Asetik asidin buhar fazdaki mol fraksiyonu.

$$\gamma_1 = \frac{y_1 P_t}{x_1 P_1} = \frac{0.9150 \cdot 760}{0.5000 \cdot 1450} = 0.9591$$

$$\gamma_2 = \frac{y_2 P_t}{x_2 P_2} = \frac{0.0850 \cdot 760}{0.5000 \cdot 125} = 1.0336$$

Yukarıda bulunan γ_1 ve γ_2 değerleri Margules denklemlerinde yerlerine konularak b ve c sabitleri hesabedildi.

$$b = 0.149 \quad c = -0.241 \quad \text{olarak bulundu.}$$



Grafik 20 : Asetik asit-dietil malonat ikili sisteminin buhar-likit denge egrisi.

x_1 = Asetik asidin likit fazdaki mol fraksiyonu.

y_1 = Asetik asidin buhar fazdaki mol fraksiyonu.

Cetvel-16

y_1	y_1^*	y_2	y_2^*	y_1
0.9991	0.9864	0.8706	0.0038	0.9962
0.9954	0.9893	0.8995	0.0108	0.9892
0.9916	0.9812	0.9161	0.0169	0.9831
0.9827	0.9724	0.9414	0.0302	0.9699
0.9730	0.9573	0.9596	0.0472	0.9530
0.9593	0.9150	0.9773	0.0804	0.9192
0.9566	0.9112	0.9798	0.0873	0.9126
0.9384	0.8322	0.9928	0.1675	0.8324
0.9258	0.6881	0.9979	0.2804	0.7105
0.9196	0.5715	0.9993	0.4310	0.5701

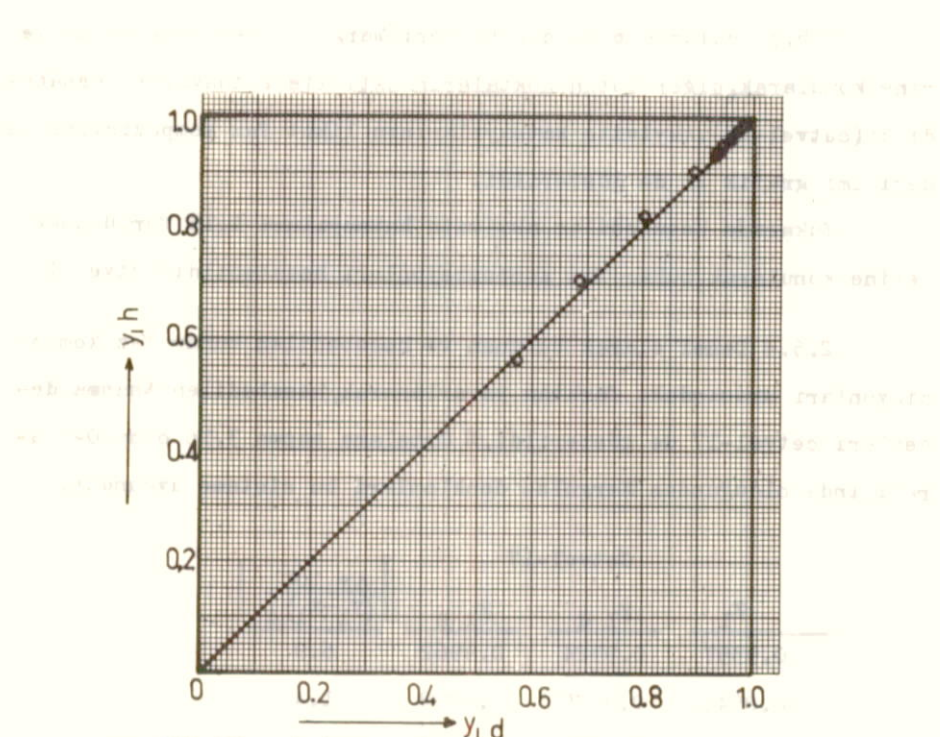
2.5.3 Bulunan b ve c sabitleri Margules denklemlerinde yine konularak, diğer bütün noktaların aktivite katsayıları hesabedildi(cetvel-16). Akyivite katsayılarının likit faz kompozisyonuyla değişimi, grafik 21 de gösterildi.

Yukarıda hesabedilen aktivite katsayıları 1.15 formülünde yerine konularak, buhar faz kompozisyonları hesabedildi(cetvel-16)

2.5.4 Denel olarak bulunan ve hesabedilen buhar faz kompozisyonları arasındaki farktan yararlanarak, hesabedilen %sapma değerleri cetvel-17 de gösterildi.% Ortalama sapma 3.16 olup 0-5 aralığında olduğundan Margules denklemleri bu sisteme uygundur.

Cetvel-17			
x_1	y_{1d}	y_{1h}	$\left \frac{\Delta y \cdot 100}{(y_{1h} - x_1)_d} \right $
0.9397	0.9924	0.9962	6.9
0.8545	0.9875	0.9892	1.4
0.8000	0.9766	0.9831	3.8
0.7028	0.9632	0.9699	2.6
0.6144	0.9480	0.9530	1.5
0.5000	0.9150	0.9192	1.0
0.4794	0.8999	0.9126	3.0
0.3288	0.8046	0.8324	5.8
0.2092	0.6998	0.7105	2.2
0.1373	0.5853	0.5701	3.4

Denel olarak bulunan ve hesaplanan buhar faz kompozisyonları arasında çizilen grafiğin (grafik 22) eğimi bir olan doğru olması deneylerle hesapların uygunluğunun bir kanıtıdır.



Grafik 22 : Asetik asit-dietil malonat ikili sisteminin Margules denklemleriyle hesaplanan ve denel olarak bulunan buhar faz mol fraksiyonları arasındaki ilişki.
 y_1^d = Asitik asidin denel olarak bulunan buhar fazdaki mol fraksiyonu.

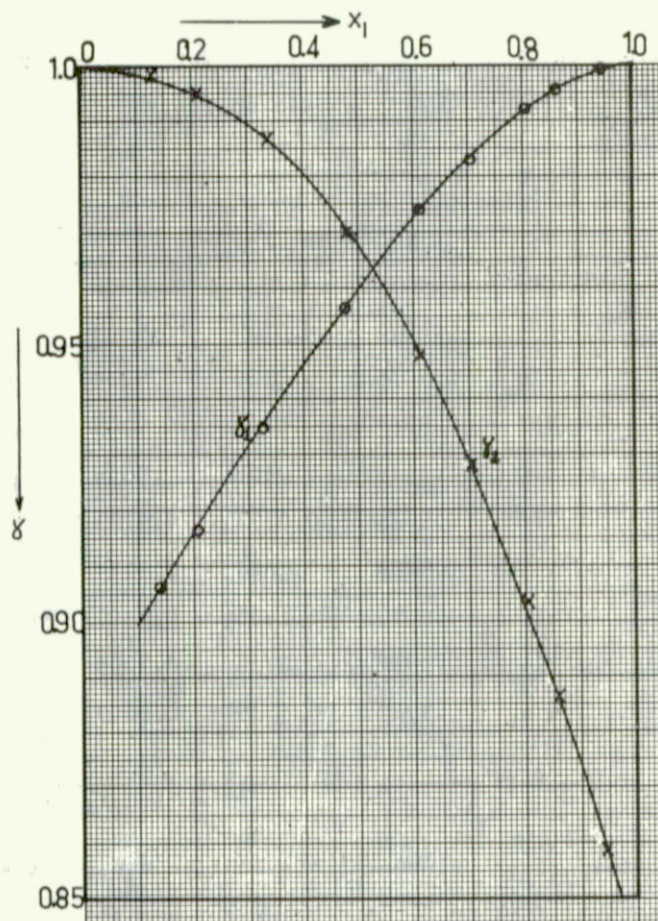
y_1^h = Margules denklemlerinin yardımı ile hesaplanan asetik asidin buhar fazdaki mol fraksiyonu.

2.5.5 Van Laar denklemlerinin asetik asit-dietil malonat sisteme uygulanması.

Van Laar denklemleriyle aktivite katsayılarının hesaplanması için A ve B sabitlerinin bilinmesi gereklidir. Bu nedenle cetvel-15 deki x noktasına ait verileri kullanarak 1.15 formülünden γ_1 ve γ_2 hesabedildi.

Bulunan aktivite katsayıları 1.29 formülünde yerine konularak A sabiti hesabedildi. 1.27 denkleminden de B sabiti hesabedildi.

$A = 0.79$, $B = -55.6$ olarak bulundu.



Grafik 21 : Asetik asit-dietil malonat ikili sisteminin aktivite katsayılarının likit faz kompozisyonu ile değişimi.

x_1 = Asetik asidin likit azdaki mol fraksiyonu.

y_1 = Asetik asidin aktivite katsayısı.

y_2 = Dietil malonatın aktivite katsayısı.

2.5.6 A ve B sabitleri Van Laar denklemlerinde yerlerine konularak diğer bütün noktaların aktivite katsayıları hesabedildi. (cetvel-18) Ayrıca aktivite katsayılarının likit faz kompozisyonu ile değişiminin grafiği (grafik 21) çizildi.

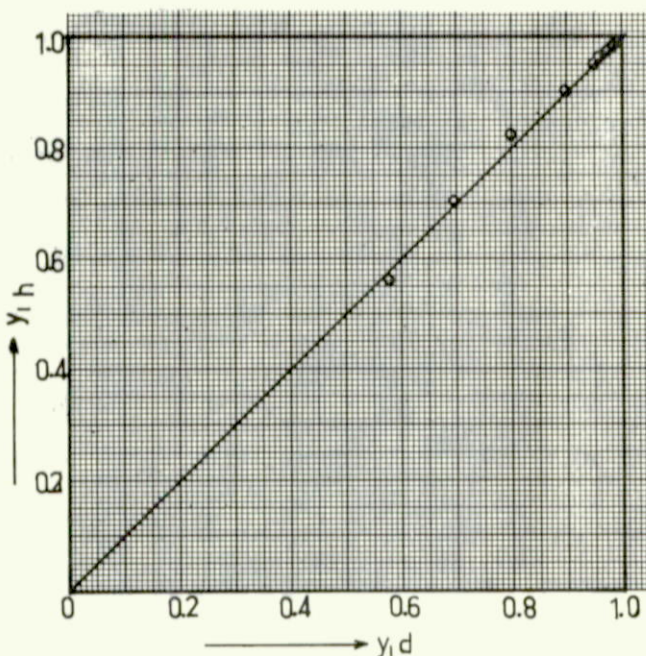
Hesabedilen aktivite katsayıları 1.15 formülünde yerine konularak buhar faz kompozisyonları hesabedildi(cetvel-18).

Cetvel-18

y_1	y_1^*	y_2	y_2^*	y_1
0.9992	0.9864	0.8590	0.0037	0.9962
0.9956	0.9896	0.8872	0.0107	0.9893
0.9920	0.9816	0.9035	0.0166	0.9834
0.9835	0.9731	0.9287	0.0298	0.9703
0.9738	0.9580	0.9479	0.0467	0.9535
0.9592	0.9150	0.9675	0.0797	0.9199
0.9563	0.9109	0.9704	0.0864	0.9134
0.9347	0.8289	0.9872	0.1665	0.8327
0.9168	0.6814	0.9952	0.2796	0.7090
0.9068	0.5635	0.9980	0.4305	0.5669

$$y_1 + y_2 = 1.0 \text{ olması gereki} \ddot{\text{g}} \text{inden gerçek } y_1 = \frac{y_1^*}{y_1^* + y_2^*} \text{ dir.}$$

2.5.7 Denel olarak bulunan ve hesabedilen buhar faz kompozisyonları arasındaki farktan % sapma değerleri hesabedildi(cetvel-19). Ortalama % sapma 3.3 olup, 0-5 aralığında olduğundan Van Laar denklemleri bu sistem için iyi sonuçlar verir. Ayrıca denel olarak bulunan ve hesaplanan buhar faz kompozisyonları arasında çizilen grafiğin (grafik 23) eğimi bir olan doğru olması, deneylerle hesapların uygunluğunun bir kanıtıdır.



Grafik 23 : Asetik asit-dietil malonat ikili sisteminin Van Laar denklemlerinin yardımı ile hesaplanan ve denel olarak bulunan buhar faz mol fraksiyonları arasındaki ilişki.

y_1^d = Asetik asidin denel olarak bulunan buhar fazdaki mol fraksiyonu.

y_1^h = Asetik asidin Van Laar denklemleri yardımı ile hesabedilen buhar fazdaki mol fraksiyonu.

2.5.8 Van Laar denklemlerinin asetik asit-dietil malonat sistemine uygunluğunu kontrol amacıyla Black(10) testi uygulandı. $(\ln \gamma_1)^{0.5}$ ile $(\ln \gamma_2)^{0.5}$ arasında çizilen grafik 23 bir doğru olduğundan Van Laar denklemleri bu sisteme uygundur.

Cetvel-19

x_1	$y_{1 d}$	$y_{1 h}$	$\left \frac{\Delta y \cdot 100}{(y_{1 h} - x_1) d} \right $
0.9397	0.9924	0.9962	6.9
0.8545	0.9875	0.9892	1.4
0.8000	0.9766	0.9834	3.8
0.7028	0.9632	0.9703	2.7
0.6144	0.9480	0.9535	1.6
0.5000	0.9150	0.9199	1.2
0.4794	0.8999	0.9134	3.2
0.3288	0.8046	0.8327	5.9
0.2092	0.6998	0.7090	1.9
0.1373	0.5853	0.5669	4.1

Cetvel-20

$$\left(\ln \gamma_1 \right)^{0.5} \quad \left(\ln \gamma_2 \right)^{0.5}$$

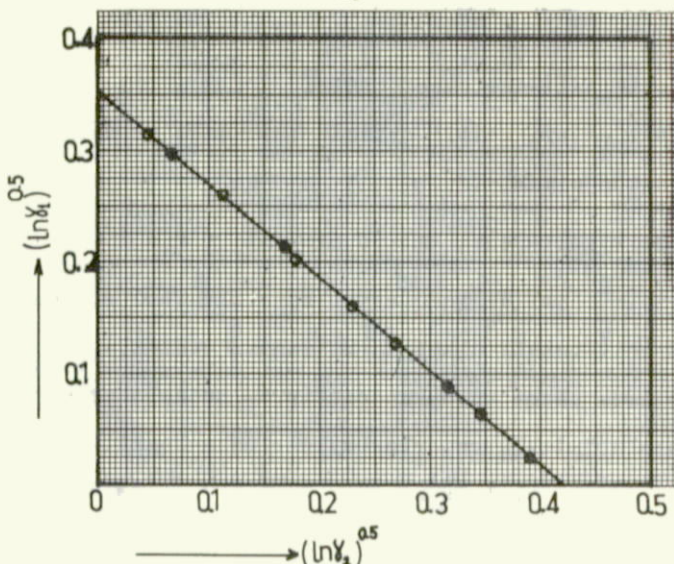
0.028	0.390
0.066	0.346
0.089	0.319
0.129	0.272
0.163	0.231
0.204	0.182
0.211	0.173
0.260	0.114
0.295	0.069
0.313	0.045

Cetvel-21

$$\ln \frac{\gamma_1}{\gamma_2} \quad x_1$$

0.138	0.9379
0.101	0.8545
0.079	0.8000
0.043	0.7028
0.014	0.6144
-0.019	0.5000
-0.024	0.4794
-0.056	0.3288
-0.075	0.2092
-0.083	0.1373

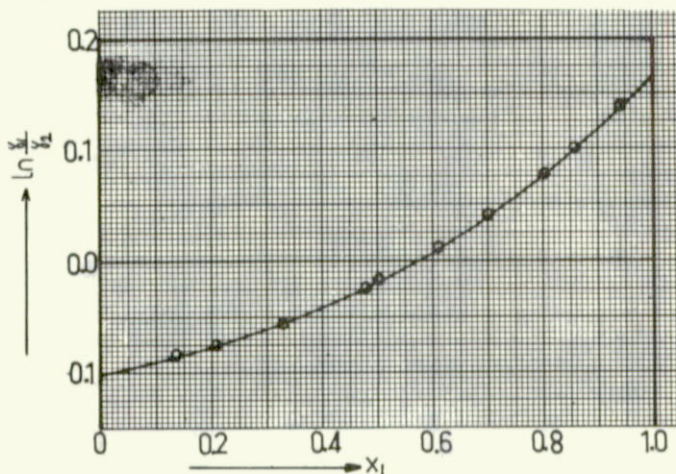
2.5.9 Redlich-Kister testi uygulandı. $\ln \frac{\gamma_1}{\gamma_2}$ ile x_1 arasında çizilen grafikdeki alanlar (eğri ile $\ln \frac{\gamma_1}{\gamma_2} = 0$ doğrusunun altında ve üstündeki) hemen hemen eşit olduğu görüldü (grafik 25). Bu da Van Laar denklemlerinin asetik asit-dietil malonat sistemine uygunluğunun bir kanıtıdır.



Grafik 24 : Asetik asit-dietil malonat ikili sisteme Black testinin uygulanması.

γ_1 = Asetik asidin aktivite katsayısı.

γ_2 = Dietil malonatin aktivite katsayısı.



Grafik 25 : Asetik asit-dietil malonat ikili sisteme Redlich-Kister testinin uygulanması.

x_1 = Asetik asidin likit fazdaki mol fraksiyonu.

γ_1 = Asetik asidin aktivite katsayısı.

γ_2 = Dietil malonatin aktivite katsayısı.

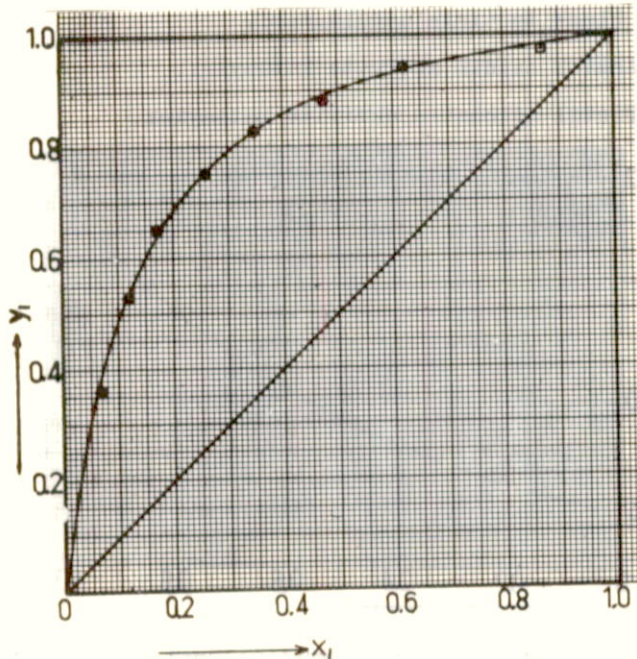
2.6 Asetik Asit-Asetoaset Esteri ($P = 760 \text{ mmHg}$)

Asetoaset esteri asitli ortamda bozunduğu için bu sistemin incelenmesi mümkün olmamıştır.

2.7 Asetik Asit-Benzil Alkol Sistemi ($P = 760 \text{ mmHg}$)

Bu karışım ısıtıldığında esterleşme olmaktadır. Ancak gayemiz su-asetik asit-benzil alkol karışımından asetik asidi ayırmak olduğundan, ortamda daima su bulunacaktır. Bu nedenle esterleşme belki bir oranda olabilir. Bu esterleşmeyle oluşan benzil asetat, karışımdan asetik asidin ayrılması, herhangi bir olumsuz etki yapmayacaktır. Ancak teorik olarak bu sistemin hesapları yapılmadı.

Sadece buhar likit denge eğrisi çizildi (grafik 26).



Grafik 26: Asetik asit-benzil alkol ikili sisteminin buhar-likit denge eğrisi.

x_1 = Asetik asidin likit fazdaki mol fraksiyonu.

y_1 = Asetik asidin buhar fazdaki mol fraksiyonu.

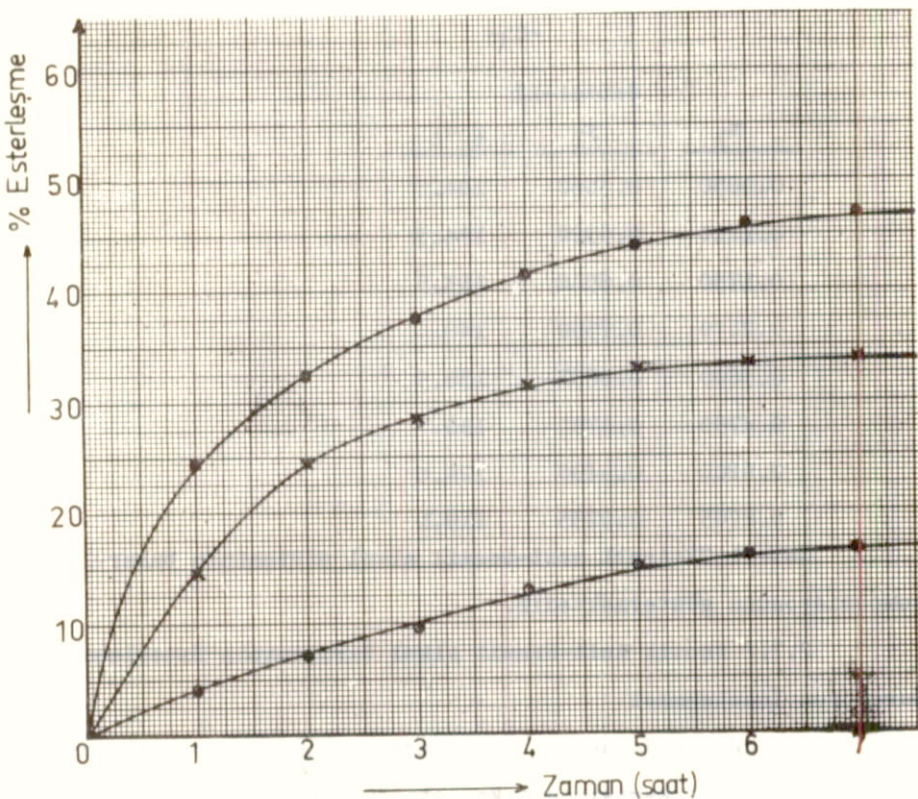
Cetvel-22

x_1	y_1	$t^{\circ}\text{C}$
0.0650	0.3660	184.2
0.1210	0.5322	174.3
0.1750	0.6508	163.5
0.2670	0.7558	148.6
0.3600	0.8267	138.5
0.4750	0.8790	130.7
0.6200	0.9430	124.8
0.8705	0.9735	119.1

Cetvel-22:Asetik asit-benzil alkol sisteminin buhar-likit kompozisyonunu göstermektedir.

2.7.2 Asetik Asit-Benzil Alkol Karışımının Esterleşme Durumunun İncelenmesi

Bir geri soğutucu altında değişik kompozisyonlarda asetik asit-benzil alkol karışımı kaynatılarak esterleşme yüzdesiyle zaman arasında bir grafik çizildi (grafik 27).Bu arada destilasyona tabi tutacağımız %10 su-%10 asetik asit-%80 benzil alkol karışımının da esterleşme durumu araştırılarak zamanla değişimi grafik 27 de gösterildi.Grafikten de görüldüğü gibi destilasyona tabi tutacağımız karışım taktirinde esterleşme az olmaktadır.Ancak bu karışım destilasyona tabi tutulduğunda asetik asit miktarında önemli ölçüde kayıplar (esterleşme nedeniyle) oldu.Karışımındaki komponentler su-asetik asit-benzil alkol dur.Benzil alkol su ile minimum azeotrop teşkil ettiği için ortamdaki su uzaklaşmaktadır.Bu nedenle esterleşme önemli ölçüde artar.Ancak belirli bir benzil asetat konsantrasyonuna ulaşıldıkten sonra iki yönlü olan esterleşme reaksiyonu dengeye gelecektir.Destilasyon koşullarımızda bu kompozisyonu bulmak amacıyla aşağıdaki denemeler yapılmıştır.



Grafik 27 : Asetik asit-benzil alkol karışımının zamanla esterleşme yüzdesidir.

●-Asetik asit-benzil alkol karışımı(ekivalen o anda)

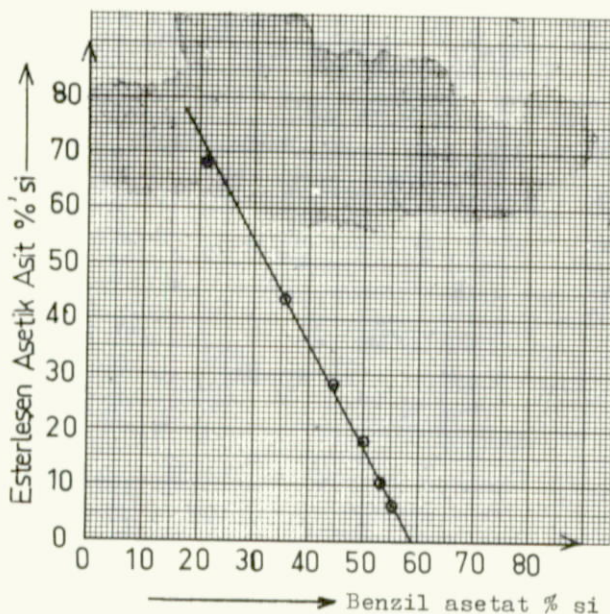
✗-Asetik asit-benzil alkol(hacmen %50 oranında)karışımı

○-Hacmen %10 su-%10 asetik asit-%80 benzil alkol karışımı

%10 su-%10 asetik asit-%80 benzil alkol karışımı hazırlana-
rak destilasyona tabi tutuldu. Asetik asit bilançosu yapıldığında
%68 oranında esterleştiği görüldü. Bakiye üzerine %10 su-%10 ase-
tik asit olacak şekilde su ve asetik asit ilave edilerek destilas-
yon tekrarlandığında asetik asit kaybının %44 e düşüğü görüldü.
Aynı şekilde deneyler tekrarlanarak kayıp asetik asit(esterleşen)
% ile oluşan benzil asetat % arasında bir grafik çizilerek ekstra-
polasyonla denge kompozisyonu bulundu.

Cetvel-23

Deney No	Esterleşen Asetik Asit %	Oluşan Benzil Asetat %
1.	68.25	21.60
2.	43.75	35.44
3.	28.15	44.35
4.	18.05	50.06
5.	10.75	53.47
6.	6.11	55.40



Grafik 28 : Su-asetik asit -benzil alkol karışımındaki asetik asidin, destilasyon esnasında oluşan benzil asetat konsantrasyonu ile esterleşme % sindeki değişimi göstermektedir.

Denge kompozisyonu olarak %59 benzil asetat bulundu. %59 benzil asetat %41 benzil alkol karışımına %10 su, %10 asetik asit olacak şekilde ilave yapılarak, destilasyon yapıldığında asetik asit kaybının olmadığı (esterleşmediği) saptandı.

2.8 Su-Asetik Asit-Dietil Malonat Uçlu Sistemi (P=760mmHg)

Uçlu sistemleri denel olarak karakterize etmek, çok sayıda denel sonuçlar gerektirmektedir. Bu çalışmanın amacı asetik asit-su sistemini değişik solventler kullanarak ayırmaktır. Bu kısımda solvent olarak dietil malonat kullanılmıştır. Değişik oranlarda hazırlanan asetik asit-su karışımılarına her seferinde hacmen %80, %70 %60, %50 olacak şekilde dietil malonat karıştırılarak cihaza dolduruldu. Kaynatıldığında, buhar faza geçen su-asetik asit ve dietil malonat, bilhassa solvent ve su yüzdesinin yüksek olduğu karışımında buhar fazın toplandığı kısımda iki faz oluşturdu. Çünkü orijinal karışımda bulunan su ve asetik asidin tamamı buhar faz haznesine geçse bile o kısmı doldurmağa yetmemektedir. Bu nedenle malon esteri buharlaşarak buhar faz haznesine geçmekte ve orada bir faz teşkiline sebep olmaktadır. Bütün bunlar çalışma sınırlarını daralttığinden bu sınırı genişletmek amacıyla kullanılan cihazın modifiye edilmesi düşünüldü. Cihazın orijinalinde kaynayan kısmın hacminin, buhar fazın toplandığı kısmın hacmine oranı 5/1 idi. Bu oranı 9/1 şekline getirerek buhar fazın toplandığı hacim küçültüldü ve çalışma alanı genişletildi. Çünkü her karışımda enaz olan komponent bile, tek başına buhar fazın toplandığı kısmı doldurmaya yetecek kadardır. Bütün bu düzeltmelere rağmen çok düşük asit yüzdelerinde faz meydana gelmekte dir. Bu nedenle faz oluşturan karışımalar çalışma sınırı dışında bırakılmıştır.

Modifiye ettiğimiz Gillespie cihazı için, orijinalinde yapılan test denemeleri tekrarlandığında aynı sonuçlar alınmıştır. Bu nedenle cihazın modifikasyonu herhangi bir şekilde buhar-likit dengelerini etkilemediği anlaşılmıştır.

2.8.1 Analiz: Cihaz dengeye ulaştıktan sonra buhar ve likit fazlarının ayrı ayrı analizi yapıldı. Her iki fazda üç komponent bulun-

duğu için komponentlerden ikisinin kantitatif tayını yeterlidir. Bu nedenle asetik asit, asidimetri(1) ile tayın edildi. Diğer iki komponent su ve dietil malonattır. Bütün çalışmalarımızda daima su mevcut olduğu için suyun tayını tercih edildi. Suyun tayını Karl Fischer (2) çözeltileri kullanılarak potansiyometrik titrasyonla yapıldı. Denel sonuçlar cetvel-24 de gösterildi.

2.8.2 Değiştirilmiş Relatif Uçuculuğun Hesabı: Su-asetik asit sistemi için değiştirilmiş uçuculuklar (1.9)förmülünden hesabedildi. Solvent konsantrasyonu ile relatif uçuculuk değişimi grafik 29 da gösterildi.

Değiştirilmiş relatif uçuculuk: Bir ikili sisteme üçüncü bir komponent ilave edilmesiyle relatif uçuculuğu değişir. Üçüncü komponentin de bulunduğu karışımının konsantrasyonlarından hesabedilen relatif uçuculuğa değiştirilmiş relatif uçuculuk denir.

Relatif uçuculuk, bir karışımın ayrılabilme kolaylığının bir ölçüsüdür. Yani relatif uçuculuk birden ne kadar büyükse o karışım o ölçüde kolaylıkla bir birinden destilasyonla ayrılır.

$$x_1 + x_2 + x_3 = 1.0$$

$$y_1 + y_2 + y_3 = 1.0$$

$$\alpha'_{12} = \frac{y_1/x_1}{y_2/x_2}$$

x_1 =En uçucu komponentin likit fazdaki mol fraksiyonu,

x_2 =İkinci komponentin likit fazdaki mol fraksiyonu.

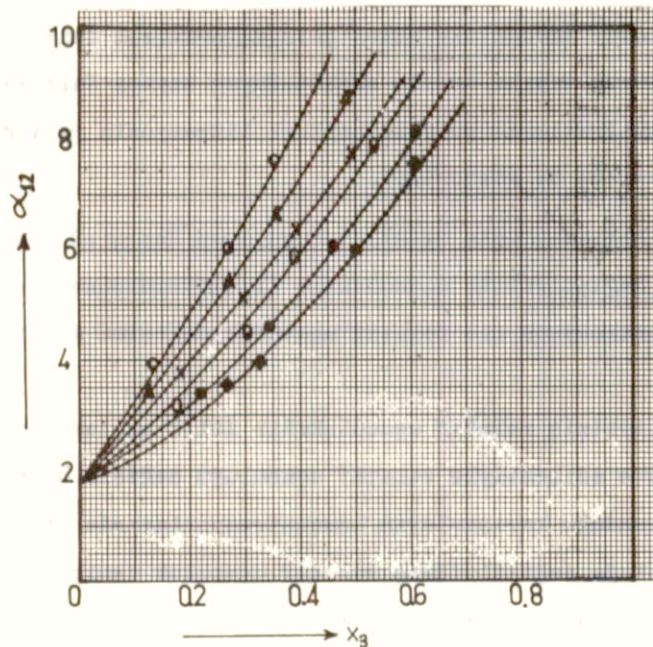
x_3 =İlave edilen solventin likit fazdaki mol fraksiyonu.

y_1 =En uçucu komponentin buhar fazdaki mol fraksiyonu.

y_2 =İkinci komponentin buhar fazdaki mol fraksiyonu.

y_3 =İlave edilen solventin buhar fazdaki mol fraksiyonu.

α'_{12} =Su-asetik asit ikili sisteminin değiştirilmiş relatif uçuculuğudur.



Grafik 29 : Su-asetik asit sisteminin dietil malonat konsantrasyonu ile relatif uçuculuğunun denel olarak bulunan değişimi.

x_3 = Dietil malonatın likit fazındaki mol fraksiyonu

α_{12} = Su-asetik asit sisteminin değiştirilmiş relatif uçuculuğu.

Su / asetik asit oranları (hacim olarak)

○ - $\frac{1}{1}$ su
1 asetik asit

△ - $\frac{2}{3}$ su
3 asetik asit

× - $\frac{1}{2}$ su
2 asetik asit

□ - $\frac{1}{7}$ su
7 asetik asit

● - $\frac{1}{4}$ su
4 asetik asit

◆ - $\frac{1}{9}$ su
9 asetik asit

		$\frac{\text{Asetik asit}}{\text{Su}}$	$\frac{\text{K.NaC}}{\text{---}}$	$\frac{y_1}{0.0682}$	$\frac{y_2}{0.6632}$	$\frac{x_1}{0.2032}$	$\frac{x_2}{0.2211}$	$\frac{x_3}{0.3600}$	$\frac{\alpha_d}{3.97}$	$\frac{\alpha'_{12}}{3.97}$	$\frac{\alpha''_{12}}{4.16}$	Karsılık %oranı
1/-		101.7	102.9	0.8704	0.0631	0.5031	0.2211	0.2758	6.06	5.94	60	n n n
		104.1	105.4	0.8519	0.0675	0.3996	0.2411	0.3600	7.59	7.34	70	n n n
2/1		103.7	105.4	0.7770	0.1345	0.4943	0.3183	0.1874	3.72	3.64	50	n n
		110.4	110.4	0.7603	0.1491	0.3489	0.3509	0.3002	5.13	4.86	60	n n
		114.9	114.9	0.7471	0.1440	0.2726	0.3324	0.3947	6.32	6.04	70	n n
		107.8	110.1	0.7254	0.1318	0.2111	0.2953	0.4936	7.70	7.72	80	n n
3/1		113.4	113.4	0.7067	0.2453	0.3849	0.4362	0.1789	3.26	3.07	50	n n
		120.2	120.2	0.7014	0.2217	0.2834	0.4091	0.3075	4.57	4.29	60	n n
		107.4	111.5	0.6870	0.1942	0.2273	0.3817	0.3910	5.93	5.62	70	n n
4/1		117.8	117.8	0.6174	0.1744	0.1442	0.3202	0.5356	7.86	7.73	80	n n
		107.4	111.5	0.6760	0.2442	0.3472	0.4353	0.2175	3.47	3.25	50	n n
		124.6	117.8	0.6508	0.2261	0.2516	0.4033	0.3451	4.62	4.35	60	n n
		102.9	124.6	0.6181	0.1979	0.1826	0.3558	0.4616	6.09	5.87	70	n n
5/2		111.8	111.8	0.5429	0.1607	0.1129	0.2720	0.6151	8.13	8.52	80	n n
		102.9	105.7	0.8466	0.1277	0.5801	0.2829	0.1270	3.40	3.49	50	n n
		111.8	117.6	0.8397	0.0933	0.4376	0.2736	0.2788	5.42	5.24	60	n n
		110.7	110.7	0.8369	0.0905	0.3729	0.2662	0.3609	6.60	6.36	70	n n
9/1		116.9	116.9	0.7875	0.0859	0.2609	0.2481	0.4910	8.7	8.50	80	n n
		120.5	120.5	0.4974	0.3550	0.2012	0.5333	0.2655	3.65	3.24	50	n n
		125.3	125.3	0.4071	0.3350	0.1766	0.4942	0.3292	4.00	3.70	60	n n
		110.7	116.9	0.4784	0.2985	0.1012	0.3928	0.5060	6.04	5.87	70	n n
		120.5	125.3	0.4654	0.2263	0.0747	0.3142	0.6111	7.57	7.63	80	n n

2.8.3 Aktivite Katsayılarının Hesaplanması: Bonham denklemle-
rini kullanarak hesabedildi.

$$T \ln \gamma_1 = \frac{\left(x_2 \sqrt{B_{12}} + x_3 A_{32} \sqrt{B_{13}} \right)^2}{\left(x_1 A_{12} + x_2 + x_3 A_{32} \right)^2}$$

$$T \ln \gamma_2 = \frac{\left(x_1 A_{12} \sqrt{B_{21}} + x_3 A_{32} \sqrt{B_{32}} \right)^2}{\left(x_1 A_{12} + x_2 + x_3 A_{32} \right)^2}$$

$$T \ln \gamma_3 = \frac{\left(x_1 A_{12} \sqrt{B_{31}} + x_2 \sqrt{B_{32}} \right)^2}{\left(x_1 A_{12} + x_2 + x_3 A_{32} \right)^2}$$

Bu denklemlerdeki sabitler, üçlü sistemi oluşturan ikili sistemlerin sabitleridir. Su-asetik asit ve asetik asit-dietil malonat ikili sistemlerinin sabitleri 2.3.5 ve 2.5.5 kısımlarında bulundu. Su-dietil malonat sisteminin sabitleride 1.15 kısmındaki formüllerden yararlanılarak hesabedildi.

$$A_{12} = 0.87$$

$$A_{13} = 0.69$$

$$A_{23} = 0.7928$$

$$A_{21} = 1.149$$

$$A_{31} = 1.45$$

$$A_{32} = 1.26$$

$$B_{12} = 98.5$$

$$B_{13} = 8.80$$

$$B_{23} = -55.6$$

$$B_{21} = -113.2$$

$$B_{31} = -12.75$$

$$B_{32} = 70.13$$

I. Komponent : Su

II. " : Asetik asit

III. " : Dietil malonat

Bu sabitler yukarıdaki denklemlerde yerlerine konularak γ_1 , γ_2 , γ_3 değerleri hesabedildi (cetvel-25). Hesabedilen bu aktivite katayıları aşağıdaki denklemde yerlerine konularak değiştirilmiş relatif uçuculuklar tekrar hesabedilerek (cetvel-25) solvent konsantrasyonu ile değişiminin grafiği (grafik 30) çizildi. Solvent konsantrasyunu arttıkça değiştirilmiş relatif uçuculuk da artmaktadır.

$$\alpha'_{12} = \frac{y_1 \cdot x_2}{y_2 \cdot x_1} \frac{\gamma_2}{\gamma_1}$$

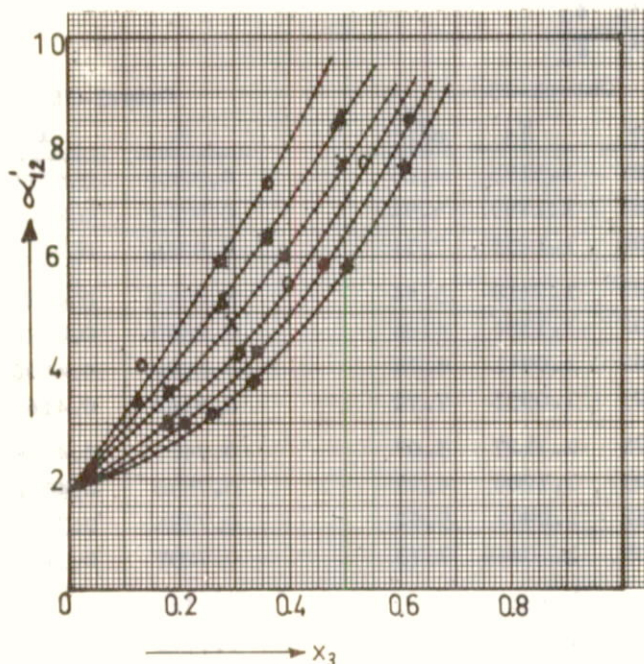
Cetvel-25

γ_1	γ_2	γ_3	α'_{12}
1.0190	1.0687	1.3173	4.16
1.0277	1.0081	1.1795	5.94
1.0347	1.0000	1.1233	7.34
1.0416	1.0187	1.2318	3.64
1.0525	1.0002	1.1384	4.86
1.0536	1.0062	1.0941	6.04
1.0497	1.0523	1.0593	7.72
1.0683	1.0075	1.2127	3.07
1.0673	1.0009	1.1286	4.29
1.0640	1.0092	1.0902	5.62
1.0558	1.0385	1.0448	7.73
1.0701	1.0022	1.1832	3.25
1.0674	1.0040	1.1094	4.35
1.0606	1.0218	1.0648	5.87
1.0096	1.0585	1.0287	8.52
1.0324	1.0609	1.2992	3.49
1.0377	1.0031	1.1650	5.24
1.0385	1.0003	1.1171	6.36
1.0403	1.0165	1.0631	8.50
1.0993	1.0021	1.1359	3.24
1.0893	1.0077	1.1055	3.70
1.0705	1.0402	1.0484	5.87
1.0570	1.0650	1.0276	7.63

Cetvel-26

y_1	x_1
0.9284	0.7655
0.9324	0.6947
0.9266	0.6237
0.8524	0.6083
0.8360	0.4986
0.8384	0.4506
0.8462	0.4169
0.7423	0.4688
0.7598	0.4092
0.7796	0.3732
0.7297	0.3105
0.7346	0.4437
0.7422	0.3842
0.7575	0.3391
0.7716	0.2933
0.8689	0.6722
0.9000	0.6153
0.9024	0.5835
0.9016	0.5126
0.5702	0.2739
0.5881	0.2633
0.6092	0.2049
0.6427	0.1921

2.8.4 Su-asetik asit sistemine ilave edilen dietil malonat
örniyla buhar-likit denge diagramının değişimi, cetvel-26 daki değerlerden çizilen grafikten açıkça görülmektedir (grafik 31). Solvent konstantrasyonu arttıkça eğri 45° hattından daha uzaklaşmaktadır. Bütün bunlar, su-asetik asit karışımının ekstraktif destilasyola ayrılabilceğini gösterir. Ohalde dietil malonat solvent olarak destilasyon başından kullanılabilir.



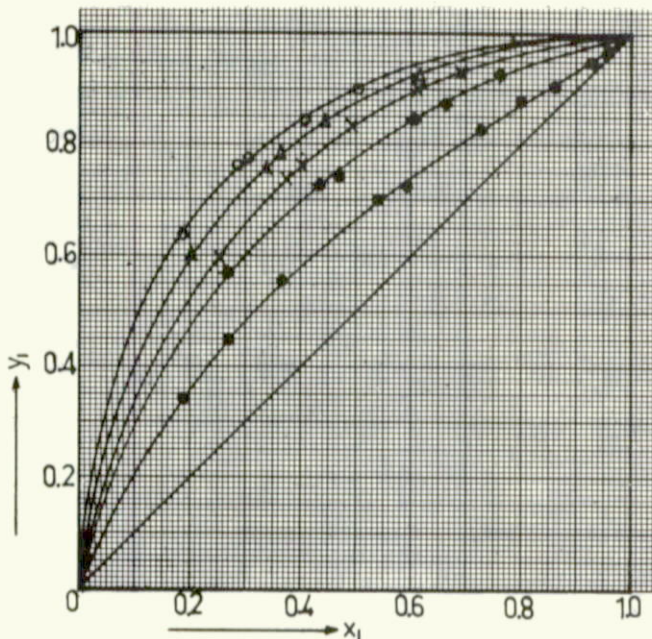
Grafik 30 : Su-asetik asit-dietil malonat üçlü sisteminin Bonham denklemleriyle hesaplanan aktivite katsayılarını kullanarak hesabedilen su-asetik asit sisteminin değiştirilmiş relatif uçuculuğunun dietil malonat konsantrasyonu ile değişimi.

x_3 = Dietil malonatın likit fazındaki mol fraksiyonu.

α'_{12} = Su-asetik asit sisteminin değiştirilmiş relatif uçuculuğu

Su / asetik asit oranı (hacim olarak)

- o - $\frac{1}{1}$ su
- △ - $\frac{2}{3}$ su
- × - $\frac{1}{2}$ su
- - $\frac{1}{3}$ su
- - $\frac{1}{4}$ su
- ◐ - $\frac{1}{9}$ su



Grafik 31 : Su-asetik asit sisteminin buharlikit denge eğrisinin dietil malonat konsantrasyonu ile değişimi.

x_1 = Suyun likit fazdaki solvent hesaba katılmaksızın mol fraksiyonu.

y_1 = Suyun buhar fazdaki solvent hesaba katılmaksızın mol fraksiyonu.

• - Solvent oranı (hacim olarak) = 0

◐ - Solvent oranı (hacim olarak) = 0,5

✗ - solvent oranı (hacim olarak) = 0,6

△ - Solvent oranı (hacim olarak) = 0,7

○ - solvent oranı (hacim olarak) = 0,8

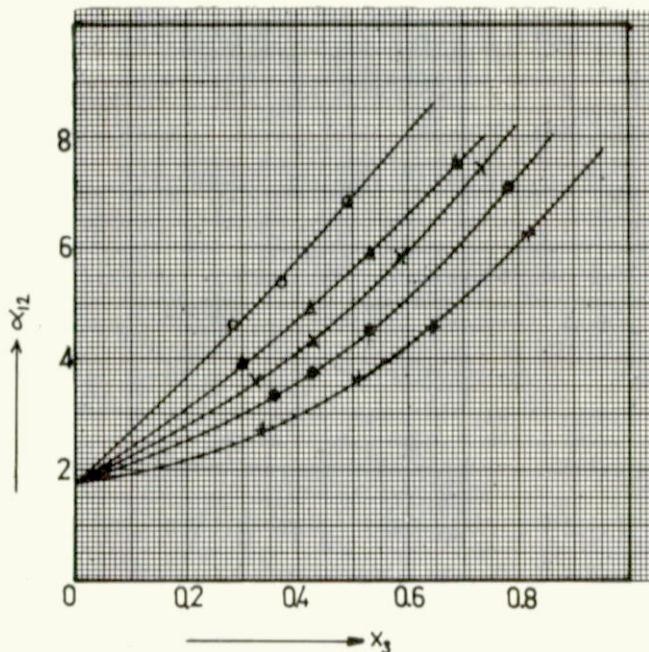
2.9 Su-Asetik Asit-Benzil Alkol Sistemi (P = 760 mmHg)

Belirli oranda su-asetik asit karışımıları sırayla %80,%70
%60,%50 oranında benzil alkolle karıştırılarak cihaza konuldu. Sis-
tem dengeye ulaştıktan sonra, buhar ve likit fazlar ayrı ayrı analiz
edildi. Karışımındaki su ve asetik asit tayinleri 2.8.1 de olduğu gibi
yapıldı. Sonuçlar cetvel-27 de verildi.

Cetvel-27

Su/Asetik asit	y ₁	y ₂	x ₁	x ₂	K.N ^o C	α'_{12}^D	α'_{12}^h	Karışma oranı %
1/9	0.7397	0.2196	0.0642	0.1182	128.8	6.20	5.29	80 solvent
	0.6504	0.03024	0.1136	0.2404	124.7	4.55	3.98	70 "
	0.6185	0.3274	0.1689	0.3260	118.4	3.65	3.26	60 "
	0.6192	0.3442	0.2488	0.3865	104.8	2.79	2.61	50 "
1/4	0.8173	0.1644	0.0901	0.1284	127.6	7.07	6.27	80 "
	0.7925	0.2037	0.2133	0.2008	122.8	4.43	4.29	70 "
	0.7699	0.2073	0.2854	0.2844	113.2	3.70	3.60	60 "
	0.7230	0.2541	0.2959	0.3479	108.5	3.34	3.19	50 "
3/7	0.7981	0.1684	0.1047	0.1645	161.0	7.43	6.67	80 "
	0.8198	0.1379	0.2113	0.2055	129.6	5.78	5.56	70 "
	0.8070	0.1791	0.2901	0.2782	121.2	4.32	4.22	60 "
	0.7955	0.1828	0.3683	0.3072	112.2	3.63	3.64	50 "
2/3	0.8547	0.1086	0.1619	0.1536	121.8	7.46	7.08	80 "
	0.8630	0.1046	0.2736	0.1942	111.2	5.86	5.89	70 "
	0.8646	0.1121	0.3542	0.2249	106.2	4.89	5.05	60 "
	0.8480	0.1302	0.4368	0.2651	104.5	3.95	4.14	50 "
1/1	0.9069	0.0733	0.3243	0.1790	110.2	6.83	7.12	70 "
	0.9124	0.0734	0.4375	0.1888	104.4	5.36	5.84	60 "
	0.9047	0.0793	0.5110	0.2062	102.8	4.60	5.09	50 "

2.9.2 Su-asetik asit sisteminin benzil alkol ilavesiyle de-
ğişen relatif uçuculuğu(1.9)förmülü ile hesabedilerek sonuçlar cetvel-
27 de verildi. Ayrıca değiştirilmiş relatif uçuculuk ile solvent kon-
santrasyonu arasında bir grafik çizildi(grafik 32). Solvent konsantrasyonu arttıkça relatif uçuculuk da artmaktadır.



Grafik 32 : Su-asetik asit sisteminin benzil alkol konsantrasyonu ile relatif uçuculuğundaki değişimi.

Su / asetik asit oranı (hacim olarak)

○ - $\frac{1 \text{ su}}{1 \text{ asetik asit}}$

△ - $\frac{2 \text{ su}}{3 \text{ asetik asit}}$

× - $\frac{3 \text{ su}}{7 \text{ asetik asit}}$

● - $\frac{1 \text{ su}}{4 \text{ asetik asit}}$

+ - $\frac{1 \text{ su}}{9 \text{ asetik asit}}$

x_3 = Benzil alkolun likit fazındaki mol fraksiyonu.

α'_{12} = Su-asetik asit sisteminin benzil alkol ilavesiyle relatif uçuculuğundaki değişme.

2.9.3 Aktivite Katsayılarının hesabedilmesi: Su-asetik asit-benzil alkol üçlü sisteminin aktivite katsayıları bonham (9,45) denklemleriyle hesabedildi. Bu denklemlerde kullanılan sabitler de üçlü sistemi oluşturan komponentlerden meydana gelen ikili sistemlerin sabitleridir. Bu ikili sistemlerden su-asetik asit çiftinin A ve B sabitleri kısım 2.3.5 de tayin edilmiştir. Su-benzil alkol ikili sisteminin sabitleri de literatür (3) verilerinden yararlanarak hesab edildi. Böylece diğer ikili sistemin sabitleride 1.15 kısmındaki formüllerden yararlanarak hesab edildi. Bulunan sabitler denklemlerde yerine konularak her üç komponentin de aktivite katsayıları hesab edildi (cetvel-28)

$$A_{12} = 0.87 \quad B_{12} = 98.5 \quad A_{13} = 11.0 \quad B_{13} = 165.4 \quad A_{23} = 12.64 \quad B_{32} = -07$$

$$A_{21} = 1.149 \quad B_{21} = -113.2 \quad A_{31} = 0.09 \quad B_{31} = -15.04 \quad A_{32} = 0.079 \quad B_{23} = 9.86$$

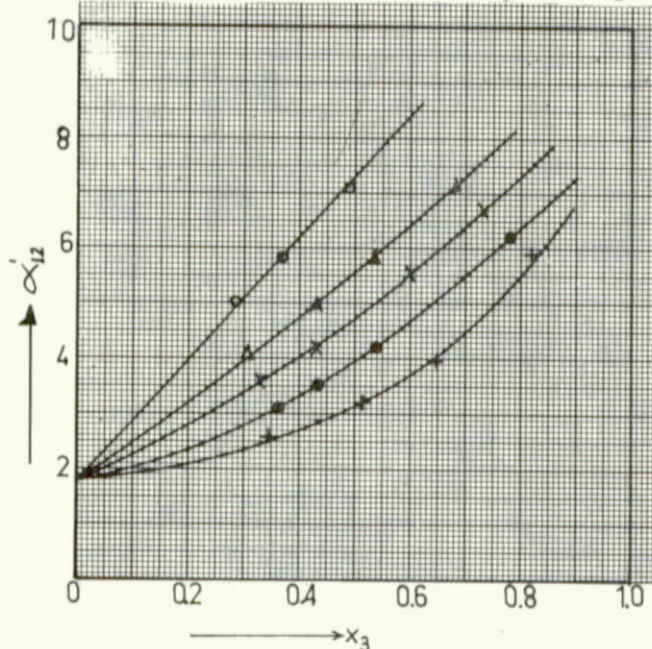
Cetvel-28

γ_1	γ_2	γ_3
1.1944	1.0178	1.0045
1.1651	1.0201	1.0059
1.1453	1.0251	1.0072
1.1027	1.0368	1.0093
1.1596	1.0272	1.0060
1.0925	1.0572	1.0111
1.0895	1.0592	1.0120
1.0997	1.0512	1.0112
1.1416	1.0247	1.0058
1.0950	1.0536	1.0105
1.0849	1.0604	1.0120
1.0719	1.0743	1.0140
1.1082	1.0511	1.0097
1.0730	1.0794	1.0140
1.0599	1.0941	1.0161
1.0523	1.1017	1.0174
1.0557	1.1009	1.0165
1.0382	1.1305	1.0201
1.0325	1.1417	1.0216

Cetvel-29

y_1	x_1
0.7711	0.3520
0.6826	0.3209
0.6539	0.3413
0.6427	0.3916
0.8325	0.4123
0.8204	0.5152
0.7879	0.5009
0.7399	0.4596
0.8258	0.3889
0.8560	0.5070
0.8184	0.5105
0.8131	0.5452
0.8873	0.5132
0.8919	0.5849
0.8852	0.6116
0.8669	0.6223
0.9252	0.6443
0.9255	0.6985
0.9194	0.7125

2.9.4 Bonham (9,45) denklemleriyle hesabedilen aktivite katsayıları (1.16) denkleminde yerine konularak değiştirilmiş relativ uçuculuklar tekrar hesabedildi (cetvel-27). Değiştirilmiş relativ uçuculuk ile solvent konsantrasyonu arasında grafik çizildi (grafik 33).



Grafik 33 : Su-asetik asit sisteminin benzil alkol konsantrasyonu ile relativ uçuculuğunun değişimi.

x_3 = Benzil alkolun likit fazındaki mol fraksiyonu.

γ_{12}' = Aktivite katsayılarını kullanarak hesabedilen değiştirilmiş relativ uçuculuk.

Su / asetik asit oranı (hacim olarak)

$$\textcircled{1} - \frac{1 \text{ su}}{1 \text{ asetik asit}}$$

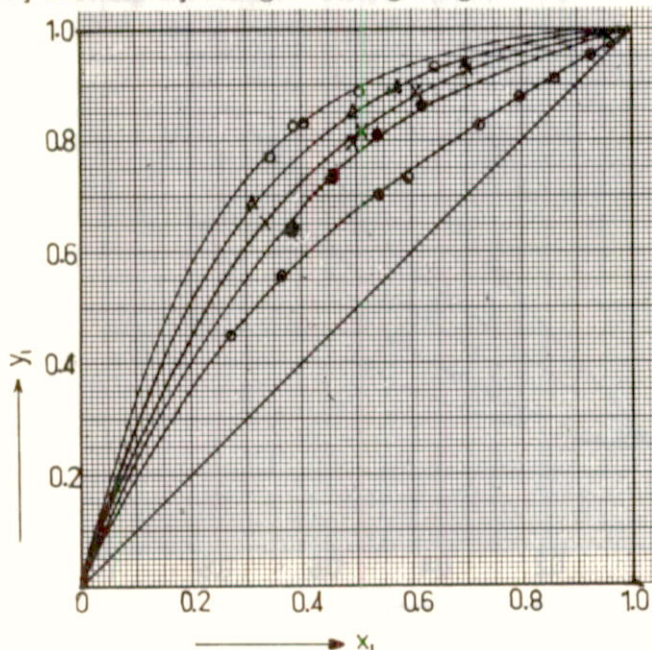
$$\Delta - \frac{2 \text{ su}}{3 \text{ asetik asit}}$$

$$\times - \frac{3 \text{ su}}{7 \text{ asetik asit}}$$

$$\bullet - \frac{1 \text{ su}}{4 \text{ asetik asit}}$$

$$+ - \frac{1 \text{ su}}{9 \text{ asetik asit}}$$

2.9.5 Su-asetik asit sisteminin buhar-likit denge eğrisinin benzil alkol oranına göre değişimi grafik 34 de görülmektedir. Bu grafikten de anlaşıldığı gibi solvent(benzil alkol)oranı arttıkça eğri 45° hattından uzaklaşmaktadır. Bu da solvent konsantrasyonuyla değiştirmiş relatif uçuculuğun arttığını gösterir.



Grafik 34 : Su-asetik asit sisteminin buhar-likit denge eğrisinin benzil alkol konsantrasyonu ile değişimi.

x_1 = Suyun likit fazındaki solvent hesaba katılmaksızın mol fraksiyonu.

y_1 = Suyun buhar fazındaki solvent hesaba katılmaksızın mol fraksiyonu.

○- Solvent oranı (hacim olarak) = 0

●- Solvent oranı (hacim olarak) = 0.5

✗- Solvent oranı (hacim olarak) = 0.6

△- Solvent oranı (hacim olarak) = 0.7

○- Solvent oranı (hacim olarak) = 0.8

Benzil alkolun, üçlü karışımından uzaklaştırıldığı var sayıldığından, su-asetik asit ikili sisteminin mol fraksiyonları cetvel-28 de verilmiştir. Grafik 34 de bu cetveldeki değerlerden çizilmiştir.

2.10 Su-Asetik Asit-Benzil Asetat Sistemi ($P = 760 \text{ mmHg}$)

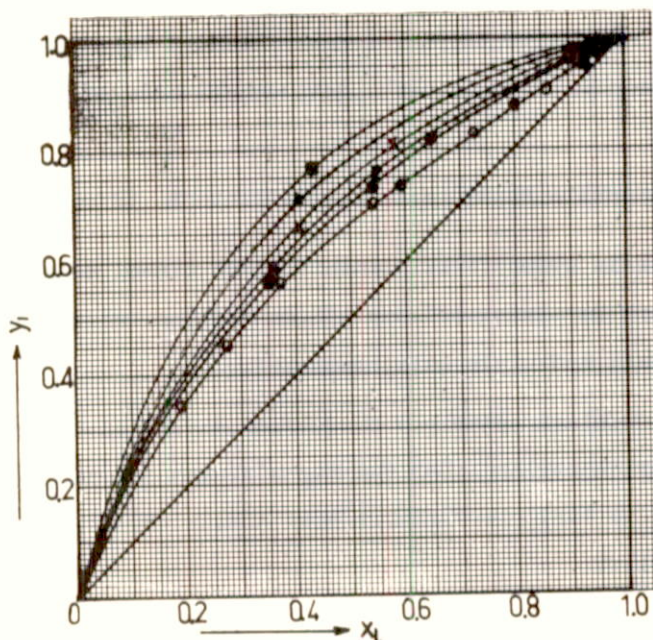
Bu sistemin çözünmezlik alanının büyük olması nedeniyle çalışma sınırlarımız daralmıştır. Cetvel-30 da verilen karışımaların dışında iki faz oluşması nedeniyle çalışılamamıştır.

2.10.1 Oranları cetvel-30 da verilen su-asetik asit-benzil asetat karışımı hazırlandı. Karışım kaynatılarak sistem dengeye ulaştığında buhar ve likit fazlar ayrı ayrı analiz edildi. Sonuçlar cetvel-30 da verildi.

K.N.C	y_1	y_2	x_1	x_2	Cetvel-30			α_{12}
					SU	Asetik asit	Benzil asetat	
108.4	0.7581	0.2337	0.2754	0.3586	10	30	60	4.22
108.1	0.7012	0.2895	0.2950	0.4322	10	40	50	3.55
103.4	0.8014	0.1902	0.4852	0.3521	20	40	40	3.06
108.8	0.6527	0.3398	0.3244	0.4806	10	50	40	2.85
103.8	0.7566	0.2389	0.4872	0.3996	20	50	30	2.60
109.2	0.5729	0.4194	0.3060	0.5456	10	60	30	2.44
102.2	0.8188	0.1772	0.6145	0.3318	30	50	20	2.49
104.2	0.7404	0.2568	0.5026	0.4317	20	60	20	2.48
107.8	0.5615	0.4361	0.3373	0.5816	10	70	20	2.22

2.10.2 (1.9) Förmülünden su-asetik asit sisteminin değiştirilmiş relativ uçuculuğu hesabedildi (cetvel-30).

2.10.3 Benzil asetatın üçlü karışımından uzaklaştırıldığı varsa-yıldığında, geriye kalan su-asetik asit sisteminin mol fraksiyonları hesabedilerek cetvel-31 de verildi. Cetvel-31 deki değerlerden su-asetik asit sisteminin, benzil asetat ilavesiyle, buhar-likit denge eğrisinin değişimini gösteren grafik 35 çizildi. Solvent oranı arttıkça eğri 45° hattından uzaklaşmaktadır.



Grafik 35: Su-asetik asit sisteminin buharlikit denge eğrisinin benzil asetat konsantrasyonu ile değişimi.

x_1 = Suyun likit fazdaki solvent hesaba katılmaksızın mol fraksiyonu.

y_1 = Suyun buhar fazdaki solvent hesaba katılmaksızın mol fraksiyonu.

○ - Solvent oranı (hacim olarak) = 0

■ - Solvent oranı (hacim olarak) = 0.6

△ - Solvent oranı (hacim olarak) = 0.5

× - Solvent oranı (hacim olarak) = 0.4

● - Solvent oranı (hacim olarak) = 0.3

◐ - Solvent oranı (hacim olarak) = 0.2

Cetvel-31

<u>y_1</u>	<u>x_1</u>
0.7644	0.4356
0.7078	0.4057
0.8082	0.5795
0.6576	0.4065
0.7600	0.5494
0.5773	0.3593
0.8221	0.6493
0.7425	0.5379
0.5629	0.3671

Sonuçların Tartışılması

Buhar-likit denge durumlarını incelediğimiz ikili sistemler için Van Laar ve Margules denklemlerinin uygun olduğu saptandı. İlgili kısımlarda yapılan testlerin beklenen sonuçları vermesi denklemlerin bu ikili sistemlere uygun olduğunu bir kanıtidır.

Van Laar ve Margules denklemlerinin herikisiyle hesabedilen aktivite katsayıları birbirine çok yakın olarak bulundu. Ayri-
ca aktivite katsayılarının kompozisyonla değişiminin her ikili sistem için grafiği çizildi. Su-asetik asit ve asetik asit-benzil asetat sistemlerinde $\gamma > 1$ ($\ln \gamma > 0$) olduğu görüldü. Bu iki sistemin Raoult kanunundan pozitif yönde bir sapma gösterdiği $\ln \gamma > 0$ olması ile açıklandı. Çünkü bir ikili sistemin aktivite katsayısı birden büyük ($\ln \gamma > 0$) ise Raoult kanunundan sapma pozitif, eğer aktivite katsayısı birden küçük ($\ln \gamma < 0$) ise Raoult kanunundan sapma negatifdir. Asetik asit-dietil malonat sisteminde $\gamma < 1$ ($\ln \gamma < 0$) olduğundan Raoult kanunundan negatif yönde bir sapmanın olduğu saptandı.

İkili sistemler için hesabedilen Van Laar sabitlerinden yararlanarak Bonham denklemiyle üçlü sistemlerin aktivite katsayıları hesabedildi. Denel olarak bulduğumuz değiştirilmiş relativ uçuculuklarla aktivite katsayılarından yararlanarak hesapladığımız değiştirilmiş relativ uçuculukların bir birine çok yakın olduğu saptandı.

Sulu asetik asit çözeltilerinden, asetik asidi ekstraksiyonla ayırmak için E.Ulusoy ve U.Dramur tarafından benzil alkol, dietil malonat, benzil asetat gibi yüksek kaynayan likitler solvent olarak kullanılmıştır. Bu solventlerle elde edilen ekstrakt fazı su-asetik asit-solventten ibarettir. Bu nedenle asetik asidin bu üçlü karışımından ayrılması destilasyonu gerektirmektedir.

Halen sulu asetik asit çözeltilerinden asetik asit, etil asetat ile ekstrakte edilip solvent fazdaki etil asetat buharlaştıralarak asetik asit elde edilmektedir. Bu yöntemde 1 kg asetik asit için 9 kg etil asetat buharlaşmaktadır. Bu nedenle ısı tüketimi fazla olmaktadır. Eğer asetik asitten daha yüksek kaynayan solventler kullanılırsa ortamdan sadece elde edilecek asetik asit buharlaşacağı için etil asetat yöntemine oranla daha ekonomik olacaktır.

E.Ulusoy ve U.Dramur tarafından ekstraksiyon için kullanılan solventlerden benzil alkolun tevezü katsayısının etil asetatından kinden daha büyük olduğu saptanmıştır.

2.7.2.de incelendiği gibi destilasyon esnasında esterleşme nedeniyle asetik asit kayıbına sebep olmaktadır. Bu kayının belli bir benzil asetat konsantrasyonunda sona ereceği düşünülerek 2.7.2 de bu konsantrasyon %59 benzil asetat %41 benzil alkol olarak saptandı.

Ekstraksiyon bakımından iyi sonuç veren benzil alkol, destilasyon esnasında esterleşme olduğundan tek başına solvent olarak kullanılması arzu edilmez. Ancak %59 benzil asetat %41 benzil alkol karışımı destilasyon bakımından iyi sonuçlar verdiği için bu karışım solvent olarak seçilmesi uygun görüldü. Bu kompozisyondaki karışımın ekstraksiyon için de ekonomik olacağı E.Ulusoy ve U.Dramur tarafından saptanmıştır.

Sulu asetik asit çözeltilerinden asetik asit elde edilmesinde solvent olarak etil asetat yerine, %59 benzil asetat %41 benzil alkol karışımının kullanılmasının daha ekonomik olacağı kanaatindayız. Çünkü, takriben 1 kg asetik asit için 9 kg etil asetat buharlaştırılmaktadır. Önerilen solvent taktirinde yaklaşık olarak 1 kg asetik asit için 1 kg asetik asit 1 kg su ve solvent buharlaşmaktadır. Buharlaşma gizli ısları arasında önemli bir fark

olmadığından önerilen yöntemin daha ekonomik olacağını açıklar.

İslı, ve madde blançolarının kesin olarak tespiti ve en-düstriyel uygulamalarına, yeni bir araştırma olarak devam edi-lecektir.

L I T E R A T Ü R

- 1 Encyclopedia of Ind.Chem.Analisis Vol.1 (1974) 30.
- 2 Encyclopedia of Ind.Chem.Analisis Vol.1 (1974) 142
- 3 Handbook of Chemistry and Physics Weast (1975-1976) D-
- 4 Rosanoff M.A,Bacon C.W,White R.H, I.Am.Chem.Soc.36(1914)1803
- 5 Rosanoff M.A,Lamb A.B.and Breithut F.E. I.Am.Chem.Soc.31(1908)4
- 6 Othmer D.F. Ind.Eng.Chem.20(1928) 743
- 7 Othmer D.F. Ind.Eng.Chem.4 (1932) 232
- 8 A.R.Berkem,S.Baykut Modern Fizikokimya(1975) 649
- 9 Antoine C.Compt.Rend.Acad.Sci.Paris (1888) 681
- 10 Black Cline Ind.Eng.Chem. 50 (1958) 403
- 11 Broughton D.B.and Brearley C.S. Ind.Eng.Chem.47 (1955) 838
- 12 Dalton J,"New System of Chemical Philosopy",Vol.1(1808) 191
- 13 Duhem P.Compt.Rend.Acad.Sci.Paris 102 (1886) 1449
- 14 Gibbs J.W.Trans Conn.Acad.Sci. 3 (1876) 152
- 15 Ibl N.V.and B.F.Dodge Chem.Eng.Sci. 2 (1953) 120
- 16 Lewis G.N.and M.Randall J.Am.Chem.Soc. 43 (1921) 233
- 17 Raoult F.M. Z.Physik.Chem. 2 (1888) 353
- 18 Redlich O andA.T.Kister Chem.Rev. 10 (1952) 149
- 19 Van Laar J.J. Z.Phys.Chem. 35 (1929) 185
- 20 White R.R. Trans A.I.Chem. 41 (1945) 546
- 21 Gillespie D.T.C. Ind.Eng.Chem.Anal.Ed. 18 (1946) 575
- 22 Anderson R.,Cambio R.and J.Prausnitz A.I.Chem.E.J. 8 (1962) 66
- 23 Hildebrand J.H. and R.L.Scott"Solubility of Nonelectrolytes,"
3d ed. Am.Chem.Soc.Monograph series,Rainhold,New York (1955)
- 24 London F. Trans Faraday Soc. 33(1937) 8
- 25 Prausnitz J.M. and Ralph Anderson A.I.Chem.E.J. 7 (1961) 96

- 26 Robinson C.S. and E.R.Gilliland "Elements of Fraktional Distillation," 4th ed. Mc Graw-Hill New York (1958)
- 27 Van Arkel A.E. Trans Faraday Soc. 81 (1946) 428
- 28 M.V.Winkle Distillation Mc Graw-Hill Series in Chem.Eng(1967)5
- 29 M.V.Winkle Distillation Mc Graw-Hill Series in Ch.Eng.(1967)41
- 30 Robinson C.S. and E.R.Gilliland "Elements of Fraktional Distillation," 4th ed. Mc Graw-Hill New York (1950)
- 31 W.B.Altsheler, E.D.Unger, P.Kolakov Ind.Eng.Chem. 43 (1951)11,255
- 32 J.S.Carey, W.K.Lewis, Ind.Eng.Chem. 24 (1932) 882
- 33 C.R.Fordyce, D.R.Simonson, Ind.Eng.Chem. 41 (1949) 1,104
- 34 C.A.Jones, E.M.Schoenberg, A.P.Colburn, Ind.Eng.Chem. 35(1943)666
- 35 R.Jork, R.C.Holmes Ind.Eng.Chem. 34(1942) 345
- 36 D.B.Keyes Ind.Eng.Chem. 25 (1933) 569
- 37 W.M.Longdon, D.B.Keyes Ind.Eng.Chem. 34 (1942) 938
- 38 P.A.Nelson, A.E.Markham J.Am .Chem.Soc.72 (1950) 2417
- 39 D.F.Othmer, S.J.Silvis, A.Spiel Ind.Eng.Chem.44 (1952) 1864
- 40 R.M.Rieder, A.R.Thompson Ind.Eng.Chem. 41 (1949) 2095
- 41 Tucker M.S. Thesis in Chemical Eng.M.I.T. (1942)
- 42 Mason M.S. Thesis in Chemical Eng.M.I.T. (1948)
- 43 M.V.Winkle Distillation Mc Graw-Hill series in Ch.Eng.(1967)41